



Gutachten zur Standorteignung von Windenergieanlagen  
nach DIBt 2012 für den Windpark Krinitz-Steosow IV

Deutschland

Bericht-Nr.: I17-SE-2022-461



Gutachten zur Standorteignung von WEA nach DIBt 2012 für den  
Windpark Krinitz-Steeseow IV

Bericht-Nr.: I17-SE-2022-461

Auftraggeber: SAB Projektentwicklung GmbH & Co. KG  
Berliner Platz 1  
D-25524 Itzehoe

Auftragnehmer: I17-Wind GmbH & Co. KG  
Robert-Koch-Straße 29  
D-25813 Husum  
Tel.: 04841 –87596– 0  
E-Mail: [mail@i17-wind.de](mailto:mail@i17-wind.de)  
Internet: [www.i17-wind.de](http://www.i17-wind.de)

Datum: 20. März 2023

## **Haftungsausschluss und Urheberrecht**

Das vorliegende Gutachten wurde unabhängig, unparteiisch und nach bestem Wissen und Gewissen nach derzeitigem Stand der Technik erstellt. Für vom Auftraggeber und vom Anlagenhersteller bereitgestellte Daten, die nicht von der I17-Wind GmbH & Co. KG erhoben oder ermittelt wurden, kann keine Gewähr für deren Korrektheit übernommen werden. Diese werden als richtig vorausgesetzt.

Urheber des vorliegenden Gutachtens zur Standorteignung von WEA nach DIBt 2012 ist die I17-Wind GmbH & Co. KG. Der Auftraggeber erhält nach § 31 Urheberrechtsgesetz das einfache Nutzungsrecht, welches nur durch Zustimmung des Urhebers übertragen werden kann. Eine Bereitstellung zum uneingeschränkten Download in elektronischen Medien ist ohne gesonderte Zustimmung des Urhebers nicht gestattet.

## **Akkreditierung**

Die I17-Wind GmbH & Co. KG ist nach DIN EN ISO/IEC 17025:2018 durch die Deutsche Akkreditierungsstelle GmbH (DAKKS) für die Bereiche „Erstellen von Schallimmissionsprognosen für Windenergieanlagen; Erstellen von Schattenwurfimmissionsprognosen für Windenergieanlagen; Prüfung der Standorteignung von Windenergieanlagen mittels Berechnung (Turbulenzgutachten)“ akkreditiert. Die Registriernummer der Urkunde lautet D-PL-21268-01-00. Diese kann angefragt, oder in der Datenbank der akkreditierten Stellen der DAKKS eingesehen werden.

Die I17-Wind GmbH & Co. KG ist Mitglied im Sachverständigenbeirat des Bundesverbandes WindEnergie (BWE) e.V.

## **Anmerkung zu Typenprüfung und Anlagenparametern der WEA**

Wenn zum Zeitpunkt der Gutachtenerstellung die Typenprüfung oder Einzelprüfung für die geplanten WEA noch nicht vorlag, wurde der Vergleich auf Basis vom Hersteller übermittelter Auslegungswerte der geplanten WEA durchgeführt. Es besteht die Möglichkeit, dass die im Genehmigungsverfahren eingereichten Dokumente bezüglich der Auslegungswerte der betrachteten WEA nicht mit den im vorliegenden Gutachten zitierten Dokumenten übereinstimmen. Die zitierten Dokumente entsprechen dem aktuellen Stand zum Zeitpunkt der Gutachtenerstellung. Bei abweichenden Dokumenten behält das vorliegende Gutachten dennoch seine Gültigkeit, wenn die im Gutachten berücksichtigten Auslegungswerte durch die im Rahmen des Genehmigungsverfahrens eingereichten Auslegungswerte abgedeckt sind. Im Folgenden ist der Begriff Einzelprüfung stets durch den Begriff Typenprüfung mit abgedeckt, auch wenn dies nicht explizit erwähnt wird.

Änderungen der berücksichtigten Anlagenparameter wie  $c_t$ -Kurve und Schnelllaufzahl  $\lambda$  sind dem Anlagenhersteller vorbehalten und bedürfen einer neuen Berechnung und Bewertung. Bei einer Änderung der Anlagenparameter gegenüber dem Stand zum Zeitpunkt der Gutachtenerstellung verliert das vorliegende Gutachten seine Gültigkeit.

---

Revisionsnummer	Datum	Änderung	Verfasser
0	20.03.2023	Erste Ausgabe	Kebbel

---

**Verfasser:**

Dipl.-Ing. (FH) Christian Kebbel, Sachverständiger  
Husum, 20.03.2023



**Geprüft:**

M. Ed. Florian Clausen, Sachverständiger  
Husum, 20.03.2023



**Freigegeben:**

M. Sc. Kevin Gutbrod, Sachverständiger  
Husum, 20.03.2023



---

Dieses Dokument wurde digital signiert und die Integrität des Dokuments wurde überprüft. Das zugehörige Zertifikat kann von der I17-Wind GmbH & Co. KG auf Anfrage gerne zur Verfügung gestellt werden.

## Inhaltsverzeichnis

1	Vorbemerkung.....	7
1.1	Allgemeines .....	7
1.2	Geführte Nachweise.....	7
1.2.1	Nachweis der Standorteignung an topografisch nicht komplexen Standorten durch Vergleich der Windbedingungen.....	8
1.2.2	Nachweis der Standorteignung an topografisch komplexen Standorten durch Vergleich der Windbedingungen.....	8
1.2.3	Verfahren bei Überschreitungen – Nachweis durch Vergleich der Lasten .....	9
1.3	Hinweise zu den zu Grunde gelegten Richtlinien.....	10
1.4	Qualität der zu Grunde gelegten Daten und Modelle.....	11
2	Aufgabenstellung und Standort .....	12
2.1	Umfang des Gutachtens .....	12
2.2	Standortbeschreibung.....	12
2.3	Auslegungswindbedingungen der geplanten WEA .....	12
3	Vergleich der Windbedingungen.....	17
3.1	Grundlagen.....	17
3.2	Vergleich $v_{ave}$ und $v_{m50}$ .....	18
3.2.1	Vergleich der mittleren Windgeschwindigkeit $v_{ave}$ .....	18
3.2.2	Vergleich der 50-Jahres-Windgeschwindigkeit $v_{m50}$ .....	18
3.3	Vergleich der effektiven Turbulenzintensität $I_{eff}$ .....	19
3.3.1	Auslegungswindbedingungen hinsichtlich der Turbulenzintensität .....	19
3.3.2	Ermittlung der Umgebungsturbulenzintensität .....	21
3.3.3	Ermittlung der effektiven Turbulenzintensität $I_{eff}$ .....	23
3.4	Vergleich der Schräganströmung $\delta$ .....	31
3.5	Vergleich des Höhenexponenten $\alpha$ .....	32
3.6	Vergleich der Luftdichte $\rho$ .....	33
3.7	Vergleich der extremen Turbulenzintensität $I_{ext}$ .....	34
4	Zusammenfassung.....	35
4.1	Neu geplante WEA .....	35
4.2	Bestehende WEA.....	36
5	Standortbesichtigung .....	38
	Abkürzungs- und Symbolverzeichnis.....	39
	Literaturverzeichnis.....	41

## Abbildungsverzeichnis

Abbildung 2.1: Zu untersuchende Windparkkonfiguration (Übersicht); Kartenmaterial: [19.1, 19.2].	15
Abbildung 2.2: Zu untersuchende Windparkkonfiguration (Projektgebiet); Kartenmaterial: [19.1, 19.2]	16

## Tabellenverzeichnis

Tabelle 2.1: Zu untersuchende Windparkkonfiguration .....	13
Tabelle 2.2: Auslegungswindbedingungen der neu geplanten WEA .....	14
Tabelle 3.1: Windverhältnisse am Standort WV1/1 [22.1] .....	17
Tabelle 3.2: Vergleich der mittleren Windgeschwindigkeit $v_{ave}$ auf Nabenhöhe der geplanten WEA..	18
Tabelle 3.3: Vergleich der 50-Jahres-Windgeschwindigkeit $v_{m50}$ auf Nabenhöhe der geplanten WEA	19
Tabelle 3.4: Richtlinienabhängige Auslegungswindbedingungen hinsichtlich der Turbulenzintensität 20	
Tabelle 3.5: Komplexitätskriterien und $C_{CT}$ nach DIN EN IEC 61400-1:2019 [6].....	22
Tabelle 3.6: Repräsentative Turbulenzintensität für einen Standort.....	23
Tabelle 3.7: Ermittelte effektive Turbulenzintensitäten $I_{eff}$ (vor Zubau) .....	27
Tabelle 3.8: Ermittelte effektive Turbulenzintensitäten $I_{eff}$ (nach Zubau) (Teil 1).....	28
Tabelle 3.9: Ermittelte effektive Turbulenzintensitäten $I_{eff}$ (nach Zubau) (Teil 2).....	29
Tabelle 3.10: Geforderte Betriebsbeschränkungen .....	30
Tabelle 3.11: Geforderte Betriebsbeschränkung zum Schutz von W14 .....	30
Tabelle 3.12 Standortmittelwert der Schräganströmung $\delta_{NH}$ der zu untersuchenden WEA.....	31
Tabelle 3.13 Standortmittelwert des Höhenexponenten $\alpha_{NH}$ der zu untersuchenden WEA.....	32
Tabelle 3.14: Vergleich der Luftdichte $\rho_{NH}$ der zu untersuchenden WEA .....	33
Tabelle 3.15: Ermittelte extreme Turbulenzintensitäten $I_{ext, NH}$ .....	34
Tabelle 4.1: Zusammenfassung der Ergebnisse geplante WEA.....	35
Tabelle 4.2: Zusammenfassung der Ergebnisse Bestands-WEA.....	36

# 1 Vorbemerkung

## 1.1 Allgemeines

Das Deutsche Institut für Bautechnik DIBt hat Anfang des Jahres 2013 die Fassung Oktober 2012 der „Richtlinie für Windenergieanlagen – Einwirkungen und Standsicherheitsnachweise für Turm und Gründung“ veröffentlicht und im März 2015 eine korrigierte Fassung herausgegeben [1.1], auf deren Grundlage das vorliegende Gutachten erstellt wurde.

Aufgrund fehlender Kriterien für einen Immissionsgrenzwert für die durch benachbarte Windenergieanlagen verursachten erhöhten Turbulenzbelastungen an einer WEA, können ersatzweise die Kriterien der Standorteignung bezüglich der effektiven Turbulenzintensität für eine Turbulenzimmissionsprognose im Rahmen eines Antrages nach dem Bundes-Immissionsschutz-Gesetz (BImSchG) herangezogen werden. Eine Reduktion der Lebenszeit und der zusätzliche Verschleiß der WEA sind zumutbar, solange die Standorteignung hinsichtlich der Auslegungswerte der Turbulenzintensität oder hinsichtlich der Auslegungslasten gewährleistet bleibt. Somit stellt das vorliegende Gutachten zur Standorteignung von WEA zusätzlich eine Turbulenzimmissionsprognose im Sinne des BImSchG dar und kann als Bestandteil der Antragsstellung nach dem BImSchG verwendet werden.

## 1.2 Geführte Nachweise

Die Richtlinie DIBt 2012 [1.1] fordert in Kapitel 16 ein alternatives, vereinfachtes Verfahren zum Nachweis der Standorteignung von WEA, das jedoch nur angewendet werden darf, wenn die Standorte der geplanten WEA nach DIN EN 61400-1:2011-08 [7] als nicht topografisch komplexe Standorte zu bezeichnen sind. Im Dezember 2019 wurde die Norm DIN EN IEC 61400-1:2019 [6] veröffentlicht, welche die Norm DIN EN 61400-1:2011-08 [7] ersetzt. Entsprechend der Richtlinie DIBt 2012 [1.1] ist die jeweils angewendete Ausgabe der Norm DIN EN (IEC) 61400-1, entsprechend [6] oder [7], in Ihrer Gesamtheit anzuwenden, weshalb auch die Ermittlung der topografischen Komplexität im vorliegenden Gutachten nach [6] erfolgt. Sind vereinzelte Standorte neu geplanter WEA als topografisch komplex zu bezeichnen, wird der vereinfachte Nachweis der Standorteignung nach [1.1] um die Kriterien nach DIN EN IEC 61400-1:2019 [6], Abschnitt 11.9, erweitert. Die Vergleiche der Auslegungswerte für die zu untersuchenden Größen mit den im Rahmen dieses Gutachtens ermittelten Werten sind nach der DIBt Richtlinie Fassung Oktober 2012 nur für neu geplante Anlagen zu führen [1.1]. Für bestehende Anlagen, die nach der DIBt 1993 [3] oder DIBt 2004 [2] typengeprüft wurden, darf im Falle einer Parkänderung / -erweiterung der Nachweis der Standorteignung auch weiterhin nach dem Verfahren der DIBt 2004 erbracht werden [1.1].

Die Richtlinie DIBt 2012 [1.1] lässt folgende Möglichkeiten, bzw. mögliche auftretende Konfigurationen, in Bezug auf die Typenprüfung und die dieser zu Grunde gelegten Richtlinie, unberücksichtigt:

- i. Der geplanten Anlage liegt eine Typenprüfung nach der Richtlinie DIBt 2004 [2] zu Grunde.
- ii. Einer oder mehrerer zu berücksichtigender Bestandsanlagen liegt eine Typenprüfung nach der DIBt 2012 [1.1] Richtlinie zu Grunde.

Für diese zwei beschriebenen Fälle, die nicht durch die DIBt 2012 [1.1] abgedeckt sind, werden folgende Verfahrensweisen gemäß [1.2] als Quasistandard angewandt:

- i. Liegt einer neu geplanten Anlage eine Typenprüfung gemäß DIBt 2004 [2] zu Grunde, wird der Nachweis der Standorteignung basierend auf dem vereinfachten Verfahren nach DIBt 2012 [1.1], beschrieben in Abschnitt 1.2.1, geführt. Dieser Nachweis entspricht den Mindestanforderungen der zum Nachweis der Standorteignung der Typenprüfung nach DIBt 2004 [2] zu Grunde gelegten Richtlinie DIN EN 61400-1:2004 [8], bzw. IEC 61400-1 ed.2 [4].
- ii. Da davon auszugehen ist, dass für bereits genehmigte, bzw. bestehende Anlage mit einer Typenprüfung nach DIBt 2012 [1.1] die Standorteignung in deren Genehmigungsverfahren

nachgewiesen wurde, werden nur durch hinzukommende Anlagen beeinflusste Parameter geprüft und mit den Auslegungswerten verglichen. Dies entspricht lediglich der effektiven Turbulenzintensität  $I_{\text{eff}}$ , welche durch einen Zubau erhöht werden kann.

Nach DIN EN 1991-1-4/NA:2010-12 [9] ist bei zylindrischen Bauwerken die Untersuchung von Interferenzeffekten oder wirbelerregten Schwingungen zu führen, wenn deren Abstand untereinander den in [9] definierten Mindestabstand unterschreitet. Diese Untersuchung ist nicht Bestandteil der Richtlinie DIBt 2012 [1.1] und wird daher im vorliegenden Gutachten nicht durchgeführt, sondern hat durch einen dritten unabhängigen Gutachter oder Prüfstatiker zu erfolgen.

### 1.2.1 Nachweis der Standorteignung an topografisch nicht komplexen Standorten durch Vergleich der Windbedingungen

Der nach der DIBt Richtlinie Fassung 2012 [1.1] vereinfachte Nachweis zur Standorteignung verlangt folgende Nachweise der Windbedingungen auf Nabenhöhe der geplanten WEA:

- i. Vergleich der mittleren Windgeschwindigkeit.
  - (1) Die mittlere Windgeschwindigkeit am Standort ist um mindestens 5 % kleiner als gemäß Typen-/Einzelprüfung, oder
  - (2) die mittlere Windgeschwindigkeit ist kleiner als gemäß Typen-/Einzelprüfung und für den Formparameter  $k$  der Weibull-Funktion gilt:  $k \geq 2$ .
- ii. Vergleich der effektiven Turbulenzintensität nach DIN EN 61400-1:2011-08 [7] zwischen  $0.2 v_{m50}(h)$  und  $0.4 v_{m50}(h)$  mit der Auslegungsturbulenz nach NTM.
- iii. Vergleich der 50-Jahreswindgeschwindigkeit.
  - (1) Die Windzone gemäß Typen-/Einzelprüfung deckt die Windzone des betrachteten Standortes entsprechend der Windzonenkarte ab (die detaillierten Regelungen gemäß DIN EN 1991-1-4, Absatz 4.3.3 einschließlich NA [9] für nicht ebene Geländelagen sind ggf. zu beachten), oder
  - (2) die 50-Jahreswindgeschwindigkeit  $v_{m50}(h)$  gemäß Typen-/Einzelprüfung deckt die 50-Jahreswindgeschwindigkeit am Standort ab (z.B. Nachweis durch eine Extremwindabschätzung).

### 1.2.2 Nachweis der Standorteignung an topografisch komplexen Standorten durch Vergleich der Windbedingungen

Handelt es sich nach Abschnitt 11.2 der DIN EN IEC 61400-1:2019 [6] um einen als topografisch komplex zu bezeichnenden Standort der Kategorie L, M oder H und liegt der zu untersuchenden WEA eine Typenprüfung nach DIBt 2012 [1.1] zu Grunde, wird der vereinfachte Nachweis zur Standorteignung nach Abschnitt 1.2.1 um folgende Nachweise der Windbedingungen auf Nabenhöhe der geplanten WEA, basierend auf DIN EN IEC 61400-1:2019 [6] erweitert.

- i. Der windenergiegewichtete Mittelwert aller Richtungen der Schräganströmung  $\delta$  darf den vorgegebenen Wert von  $\pm 8^\circ$ , bzw. den in der Typenprüfung angegebenen Wert, nicht überschreiten bzw. unterschreiten.
- ii. Der über alle Richtungen und Windgeschwindigkeiten energiegewichtete Standortmittelwert des Höhenexponenten  $\alpha$  darf den Wert von  $0.05 \leq \alpha \leq 0.25$ , bzw. den in der Typenprüfung angegebenen Wert nicht überschreiten bzw. unterschreiten.
- iii. Der Standortmittelwert der Luftdichte  $\rho$  darf bei allen Windgeschwindigkeiten größer gleich der Nennwindgeschwindigkeit  $v_r$  den Wert  $1.225 \text{ kg/m}^3$  oder den in der Typenprüfung angegebenen Wert nicht überschreiten. Alternativ kann eine Luftdichte über dem Wert von  $1.225 \text{ kg/m}^3$  oder dem in der Typenprüfung angegebenen Wert durch Einhaltung der folgenden Ungleichung nachgewiesen werden:

$$\rho_{\text{Auslegung}} * v_{\text{ave,Auslegung}}^2 \geq \rho_{\text{Standort}} * v_{\text{ave,Standort}}^2$$

- iv. Es ist der Nachweis zu erbringen, dass die Auslegungswerte des ETM auch unter Berücksichtigung der Nachlaufsituation mit der höchsten Nachlaufturbulenz im Zentrum des Nachlaufs, nicht überschritten werden.

### 1.2.3 Verfahren bei Überschreitungen – Nachweis durch Vergleich der Lasten

Kann der vereinfachte Nachweis der Windbedingungen nach DIBt 2012 [1.1] aus Abschnitt 1.2.1 nicht geführt werden, da die zu prüfenden Parameter mittlere Windgeschwindigkeit  $v_{\text{ave}}$  oder effektive Turbulenzintensität  $I_{\text{eff}}$  nicht eingehalten werden, kann die Standorteignung durch einen Lastvergleich (Vergleich der standortspezifischen Lasten mit den Lastannahmen der Typenprüfung) der Betriebsfestigkeitslasten nachgewiesen werden. In diesem Fall ist der Nachweis der Standorteignung der jeweiligen WEA auf Basis eines Lastvergleiches der Betriebsfestigkeitslasten (DLC 1.2) zu führen. Wird der Auslegungswert  $v_{m50}$  nicht eingehalten, kann die Standorteignung auf Basis eines Lastvergleiches der Extremlasten nachgewiesen werden. In diesem Fall ist der Nachweis der Standorteignung der jeweiligen WEA auf Basis eines Lastvergleiches der Extremlasten (DLC 1.1, DLC 1.3, DLC 6.1, und DLC 6.2) zu führen.

Kann der Nachweis der Windbedingungen an einem als topografisch komplex zu bezeichnenden Standort nach Abschnitt 1.2.1 und Abschnitt 1.2.2 nicht geführt werden, da einer oder mehrere der zu prüfenden Werte nicht eingehalten werden, kann die Standorteignung entsprechend DIN EN IEC 61400-1:2019 [6] auf Basis eines Lastvergleiches unter Berücksichtigung der standortspezifischen Windbedingungen aus Abschnitt 1.2.1 und Abschnitt 1.2.2 durchgeführt werden. Demnach ist der Nachweis der Standorteignung der jeweiligen WEA auf Basis eines Lastvergleiches der Betriebsfestigkeitslasten (DLC 1.2) und/oder der Extremlasten (DLC 1.1, DLC 1.3, DLC 6.1, und DLC 6.2) zu führen.

In beiden Fällen werden die der Typenprüfung zu Grunde gelegten Auslegungslasten mit den standortspezifischen Lasten, die auf Basis der standortspezifischen Windbedingungen aus dem vorliegenden Gutachten ermittelt werden, verglichen. Wenn sich zeigt, dass die standortspezifischen Lasten die Auslegungslasten nicht überschreiten oder diese einhalten, ist eine Standorteignung durch den Vergleich der Lasten nachgewiesen. Werden die Auslegungslasten nicht eingehalten, muss die Anlage gegebenenfalls mit einer sektoriellen Betriebseinschränkung betrieben werden, um die Lasten soweit zu reduzieren, dass sie innerhalb der Auslegungslasten liegen, oder die Standorteignung kann nicht durch einen Vergleich der Lasten nachgewiesen werden.

Die Berechnung der standortspezifischen Lasten erfolgt in der Regel durch den Hersteller der betrachteten WEA. Der zugehörige Bericht zur durchgeführten Lastberechnung wird der I17-Wind GmbH & Co. KG im Rahmen einer Geheimhaltungsvereinbarung vorgelegt. Zudem ist es möglich die Betriebsfestigkeits- und Extremlasten einer WEA basierend auf einem generischen Anlagenmodell zu ermitteln und mit den Auslegungslasten, welche mittels des identischen generischen Anlagenmodells ermittelt werden, zu vergleichen. Diese Berechnungen erfolgen in der Regel nicht durch den Anlagenhersteller, sondern durch einen dritten unabhängigen Gutachter. Die Berichte werden von der I17-Wind GmbH & Co. KG dahingehend überprüft, dass die Eingangsdaten korrekt übernommen und angesetzt wurden. Das Ergebnis einer Lastberechnung wird als richtig vorausgesetzt. Eine Haftung für die Richtigkeit einer Lastrechnung, sowohl eines Anlagenherstellers als auch eines dritten, unabhängigen Gutachters, wird nicht übernommen.

### 1.3 Hinweise zu den zu Grunde gelegten Richtlinien

Folgende, von der DIBt 2012 Richtlinie [1.1] und der DIN EN IEC 61400-1:2019 [6] abweichende, jedoch konservativ abdeckende, Verfahren wurden für das vorliegende Gutachten zur Standorteignung von WEA gewählt:

- I. Entsprechend der DIBt 2012 [1.1] ist es für eine Prüfung der Standorteignung Voraussetzung, dass für die WEA eine Typenprüfung bzw. eine Einzelprüfung vorliegt. Ist dies nicht der Fall, wird der Vergleich auf Basis von vorläufigen Auslegungswerten, für die die Typenprüfung voraussichtlich angestrebt wird, durchgeführt. Somit behält das vorliegende Gutachten im Falle einer Typenprüfung bzw. Einzelprüfung, welche die zu Grunde gelegten Auslegungsparameter abdeckt, seine Gültigkeit.
- II. Es wird davon ausgegangen, dass jede im Gutachten betrachtete WEA die Ihrer Typenprüfung zu Grunde gelegte Auslegungslebensdauer  $\tau_{TP}$  noch nicht überschritten hat.
- III. Der Vergleich des Standortwertes der mittleren Windgeschwindigkeit auf Nabenhöhe  $v_{ave}$  mit dem Auslegungswert kann nur nach [1.1] erfolgen, wenn die Auslegungswerte der zu betrachtenden WEA einen Formparameter  $k$  der Weibullverteilung von  $k = 2.0$  ausweisen. Wenn die Auslegungswerte der zu betrachtenden WEA einen Formparameter  $k \neq 2.0$  ausweisen, kann der in [1.1] geforderte Vergleich nicht mehr erfolgen. In diesem Fall wird das Verfahren nach [6] gewählt, welches einen Vergleich der Wahrscheinlichkeitsdichtefunktion  $pdf_{NH}$  der standortspezifischen Windgeschwindigkeiten mit der Wahrscheinlichkeitsdichtefunktion  $pdf_{TP}$  der Typenprüfung in einem Bereich von  $v_{ave} - 2v_{ave}$  fordert. Zusätzlich wird der Bereich von  $0.2v_{ref} - 0.4v_{ref}$  nach [7] herangezogen und stets der konservativ abdeckende Bereich dem Vergleich zu Grunde gelegt. In dem zu untersuchenden Bereich muss die Bedingung  $pdf_{NH} \leq pdf_{TP}$  erfüllt sein. Die Berechnung der Wahrscheinlichkeitsdichtefunktionen  $pdf_{NH}$  und  $pdf_{TP}$  erfolgt entsprechend [6] auf Basis der Standortmittelwerte  $A_{NH}$  und  $k_{NH}$  bzw. der Auslegungswerte  $A_{TP}$  und  $k_{TP}$  der zu untersuchenden WEA.
- IV. Erfolgt der Nachweis der Standorteignung durch den Vergleich der Windbedingungen nach Abschnitt 1.2.1 und 1.2.2, hat der Vergleich der standortspezifischen effektiven Turbulenzintensität und der Auslegungsturbulenz nach NTM in dem Bereich zwischen  $0.2v_{m50}(h)$  und  $0.4v_{m50}(h)$  zu erfolgen [1.1]. Liegt einer zu betrachtenden WEA keine Auslegungsturbulenz nach NTM vor, erfolgt der Vergleich mit der in der Typenprüfung aufgeführten Auslegungsturbulenz. Entsprechend [6] hat der Vergleich in dem Bereich zwischen  $v_{ave}$  und  $2v_{ave}$  zu erfolgen. Erfolgt der Nachweis der Standorteignung durch den Vergleich der Lasten nach Abschnitt 1.2.3, sind der Lastberechnung nach [1.1] mindestens die standortspezifischen effektiven Turbulenzintensitäten von  $v_{in}$  bis  $0.4v_{m50}(h)$  bzw. von  $v_{in}$  bis  $v_{out}$  entsprechend DLC 1.2 nach [6] zu Grunde zu legen. Im vorliegenden Gutachten werden die standortspezifischen effektiven Turbulenzintensitäten mindestens im Windgeschwindigkeitsbereich von 5 m/s bis 25 m/s (bzw.  $v_{out}$  wenn  $v_{out} < 25$  m/s) ausgewiesen, was die oben beschriebenen Anforderungen für den Nachweis der Standorteignung durch den Vergleich der Windbedingungen nach [1.1], [6] und auch [7] abdeckt. Erfolgt der Nachweis der Standorteignung durch den Vergleich der Lasten, werden dem Anlagenhersteller grundsätzlich die standortspezifischen effektiven Turbulenzintensitäten in dem Bereich von  $v_{in}$  bis  $v_{out}$  zur Verfügung gestellt. Liegt einer zu prüfenden WEA eine Typenprüfung nach [2] zu Grunde, erfolgt der Vergleich mit der Turbulenzkurve für Turbulenzkategorie A nach [1.1], da dieser Verlauf den nach [2] anzusetzenden mit abdeckt.
- V. Bezüglich der effektiven Turbulenzintensität  $I_{eff}$  werden grundsätzlich alle Anlagen im Umkreis des 10fachen Rotordurchmessers  $D$  der geplanten Anlage(n) in die Betrachtung einbezogen und nachgewiesen. Dieses Kriterium deckt alle Kriterien nach [1.1], [6] und [7] ab.
- VI. Der standortspezifische Mittelwert der Luftdichte  $\rho$  wird abdeckend für alle Windgeschwindigkeiten angegeben.

- VII. Hinsichtlich der Auslegungswindbedingungen des ETM werden die Werte der höchsten Turbulenz im Zentrum des Nachlaufs ausgewiesen. Da eine Überschreitung der Auslegungswindbedingungen bezüglich des ETM in der Regel mit einer Überschreitung der effektiven Turbulenzintensität einhergeht, kann davon ausgegangen werden, dass eine Überschreitung der extremen Turbulenzintensität nur in solchen Fällen eintritt, in denen die Standorteignung durch eine Lastrechnung des Hersteller nachgewiesen werden muss, was dann auf Basis der ausgewiesenen Werte für die Extremturbulenz erfolgt. Aus diesem Grund wird der Vergleich der Auslegungswindbedingungen des ETM mit den Standortbedingungen nicht geführt.
- VIII. Auf Grund der verwendeten Berechnungsprogramme und deren Zahlenausgabeformat, werden die im vorliegenden Gutachten ausgewiesenen Ergebnisse in der Regel mit dem Dezimaltrennzeichen „Punkt“ versehen.
- IX. Auf Grund der unterschiedlichen Begrifflichkeiten und Bezeichnungen identischer Größen in den zu Grunde gelegten Richtlinien und Normen, werden im vorliegenden Gutachten teilweise Begriffe und Bezeichnungen gewählt bzw. eingeführt, die, soweit möglich, eine Ähnlichkeit zu den jeweiligen Begriffen und Bezeichnungen in den Richtlinien und Normen aufweisen, um sie diesen zuordnen zu können. Die korrekte Umsetzung der in den Richtlinien und Normen geforderten Vergleiche bleibt davon unberührt.

#### **1.4 Qualität der zu Grunde gelegten Daten und Modelle**

Alle im Rahmen des vorliegenden Gutachtens ermittelten Ergebnisse und Zwischenergebnisse basieren einerseits auf Angaben, die vom Auftraggeber übermittelt wurden und andererseits auf Berechnungsergebnissen, die durch die I17-Wind GmbH & Co. KG ermittelt wurden. Zu den Unsicherheiten der den Eingangsdaten vom Auftraggeber zu Grunde gelegten Berechnungsmodellen kann seitens der I17-Wind GmbH & Co. KG keine Aussage getroffen werden. Diese Eingangsdaten werden im Weiteren als richtig und repräsentativ für den betrachteten Standort vorausgesetzt.

Die in den Berechnungen herangezogenen Anlagenparameter, Schubbeiwert  $c_t$  und Schnelllaufzahl  $\lambda$ , werden in der Regel vom Anlagenhersteller bereitgestellt. Diese Werte werden als richtig vorausgesetzt. Die berücksichtigten Werte entsprechen dem Stand zum Zeitpunkt der Gutachtenerstellung. Änderungen sind dem Anlagenhersteller vorbehalten und bedürfen einer neuen Berechnung und Bewertung. Bei Anlagen, für die keine Informationen vorliegen, werden konservativ abdeckende, generische Anlagenparameter angesetzt, wobei keine Haftung für die Richtigkeit der ermittelten Werte übernommen wird.

Die im vorliegenden Gutachten angegebenen Nabenhöhen der geplanten WEA entsprechen stets der aktuell vorliegenden Dokumentation. In der Entwicklungsphase einer WEA sind geringfügige Änderungen der Nabenhöhe ohne eine Änderung der zu Grunde gelegten Auslegungswindbedingungen möglich, sodass die im vorliegenden Gutachten betrachtete Nabenhöhe von der in den Antragsunterlagen ausgewiesenen Nabenhöhe geringfügig abweichen kann. Das Gleiche gilt für die in den Genehmigungen dokumentierten Nabenhöhen bestehender WEA, die ebenfalls geringfügig von aktuellen Werten abweichen können. Bei einer Abweichung der Nabenhöhe von maximal  $\pm 1$  m behält das vorliegende Gutachten seine vollumfängliche Gültigkeit, wenn die im Gutachten berücksichtigten Auslegungswindbedingungen durch die im Rahmen des Genehmigungsverfahrens eingereichten Auslegungswindbedingungen abgedeckt sind.

Den von der I17-Wind GmbH & Co. KG ermittelten Ergebnissen liegen unterschiedliche, vereinfachte physikalische Modelle zu Grunde, die nur annähernd die Realität abbilden, jedoch als konservativ zu bewerten sind. Des Weiteren werden bei den Berechnungen teilweise vereinfachende Annahmen getroffen, die jedoch allesamt ebenfalls als konservativ zu bewerten sind.

## 2 Aufgabenstellung und Standort

### 2.1 Umfang des Gutachtens

Da im geplanten Windpark mindestens ein Anlagenstandort einer nach DIBt 2012 typengeprüften neu geplanten Anlage nach DIN EN IEC 61400-1:2019 [6] als topografisch komplexer Standort zu bezeichnen ist, findet für diese WEA das Verfahren nach Abschnitt 1.2.1 und 1.2.2 Anwendung. Für neu geplante WEA an topografisch nicht komplexen Standorten findet nur das Verfahren nach Abschnitt 1.2.1 Anwendung.

### 2.2 Standortbeschreibung

Der Auftraggeber plant die Errichtung von elf WEA des Typs Vestas V162-6.2 MW auf 169.0 m Nabenhöhe am Standort Krinitz-Steosow IV in Mecklenburg-Vorpommern.

Die I17-Wind GmbH & Co. KG wurde damit beauftragt, ein Gutachten zur Standorteignung von WEA nach der DIBt 2012 Richtlinie [1.1] unter Berücksichtigung der in Tabelle 2.1 aufgeführten [21] und in Abbildung 2.1 und Abbildung 2.2 dargestellten WEA zu erstellen. Tabelle 2.1 führt neben den Spezifikationen der WEA am Standort auch die der Typenprüfung zu Grunde gelegten, bzw. bei fehlender Information unterstellten, Richtlinien auf. Des Weiteren wird aufgeführt, welcher Wöhlerlinienkoeffizient  $m$  und welcher Betriebsmodus für die Berechnung der effektiven Turbulenzintensität  $I_{\text{eff}}$  herangezogen wurde. Die Ergebnisse in 3.3.3 berücksichtigen den jeweiligen Wöhlerlinienkoeffizienten aus Tabelle 2.1. Wenn über den Betriebsmodus keine Informationen in den Eingangsdaten vorliegen, wird stets mit dem Betriebsmodus gerechnet, der die konservativsten Ergebnisse liefert, was dem offenen, nicht leistungsreduzierten Betriebsmodus entspricht.

Die Spalte „Innerhalb 10  $D$ “ weist aus, welche WEA sich innerhalb eines Umkreises von 10  $D$  um die geplanten WEA befinden. Für diese WEA hat nach [6] und [7] eine Bewertung der topografischen Komplexität und der effektiven Turbulenzintensität  $I_{\text{eff}}$  zu erfolgen.

Im vorliegenden Gutachten beziehen sich alle Bezeichnungen auf die interne, laufende W-Nummer. Wird eine Größe mit dem Index  $_{\text{TP}}$  bezeichnet, handelt es sich um den Auslegungswert der zu betrachtenden WEA. Eine Bezeichnung mit dem Index  $_{\text{NH}}$  weist auf den standortspezifischen Wert der betrachteten Anlage hin.

Im vorgegeben Windparklayout ergibt sich der geringste relative Abstand  $s$  einer neu geplanten WEA zu einer anderen WEA von 2.10, bezogen auf den größeren Rotordurchmesser  $D$ . Dies betrifft die WEA W5 und W6.

### 2.3 Auslegungswindbedingungen der geplanten WEA

Die Auslegungswindbedingungen werden entweder der Typenprüfung entnommen oder vom Hersteller übermittelt. Da der Vergleich der Auslegungswindbedingungen, abgesehen von  $I_{\text{eff}}$ , mit den standortspezifischen Bedingungen nur für neu geplante WEA zu führen ist, werden in Tabelle 2.2 nur die Auslegungswindbedingungen der neu geplanten WEA aufgeführt.

Tabelle 2.1: Zu untersuchende Windparkkonfiguration

Interne W-Nr.	Bezeichnung Auftraggeber	Neu / Bestand	Innerhalb 10 D	Topografische Komplexität		UTM ETRS89 Zone 33		Hersteller	WEA Typ	NH <sup>1</sup> [m]	D [m]	Betriebsmodus	FEH [m]	P <sub>N</sub> [kW]	Prüfgrundlage DIBt	TK	Auslegungsdauer τ <sub>TP</sub> [a]	m <sub>max, TP</sub> [-]
				Komplex	Kategorie	X [m]	Y [m]											
W1	WEA C01	Neu	Ja	Nein	-	264481	5897233	Vestas	V162-6.2 MW	169.0	162.0	PO 6200	0.0	6200	2012	S	25	10
W2	WEA C02	Neu	Ja	Nein	-	264875	5897051	Vestas	V162-6.2 MW	169.0	162.0	PO 6200	0.0	6200	2012	S	25	10
W3	WEA C03	Neu	Ja	Nein	-	264234	5896953	Vestas	V162-6.2 MW	169.0	162.0	PO 6200	0.0	6200	2012	S	25	10
W4	WEA C04	Neu	Ja	Nein	-	264451	5896650	Vestas	V162-6.2 MW	169.0	162.0	PO 6200	0.0	6200	2012	S	25	10
W5	WEA C05	Neu	Ja	Nein	-	264451	5896276	Vestas	V162-6.2 MW	169.0	162.0	PO 6200	0.0	6200	2012	S	25	10
W6	WEA C06	Neu	Ja	Nein	-	264663	5896009	Vestas	V162-6.2 MW	169.0	162.0	PO 6200	0.0	6200	2012	S	25	10
W7	WEA C07	Neu	Ja	Nein	-	265088	5896090	Vestas	V162-6.2 MW	169.0	162.0	PO 6200	0.0	6200	2012	S	25	10
W8	WEA C08	Neu	Ja	Nein	-	265354	5896411	Vestas	V162-6.2 MW	169.0	162.0	PO 6200	0.0	6200	2012	S	25	10
W9	WEA C09	Neu	Ja	Nein	-	265614	5896671	Vestas	V162-6.2 MW	169.0	162.0	PO 6200	0.0	6200	2012	S	25	10
W10	WEA C10	Neu	Ja	Nein	-	265569	5896124	Vestas	V162-6.2 MW	169.0	162.0	PO 6200	0.0	6200	2012	S	25	10
W11	WEA C11	Neu	Ja	Nein	-	265860	5896410	Vestas	V162-6.2 MW	169.0	162.0	PO 6200	0.0	6200	2012	S	25	10
W12	WEA A01	Bestand	Ja	Nein	-	263911	5895728	Vestas	V162-5.6 MW	169.0	162.0	Modus 0	0.0	5600	2012	S	20	10
W13	WEA A02	Bestand	Ja	Nein	-	264314	5895683	Vestas	V150-5.6 MW	169.0	150.0	Modus 0	0.0	5600	2012	S	20	10
W14	WEA A03	Bestand	Ja	Nein	-	264661	5895538	Vestas	V162-5.6 MW	169.0	162.0	Modus 0	0.0	5600	2012	S	20	10
W15	WEA A04	Bestand	Ja	Nein	-	265199	5895571	Vestas	V162-5.6 MW	169.0	162.0	Modus 0	0.0	5600	2012	S	20	10
W16	WEA A05	Bestand	Ja	Nein	-	265488	5895308	Vestas	V162-5.6 MW	169.0	162.0	Modus 0	0.0	5600	2012	S	20	10
W17	WEA A07	Bestand	Ja	Nein	-	266093	5895497	Vestas	V162-5.6 MW	169.0	162.0	Modus 0	0.0	5600	2012	S	20	10
W18	WEA A08	Bestand	Ja	Nein	-	266269	5895120	Vestas	V162-5.6 MW	169.0	162.0	Modus 0	0.0	5600	2012	S	20	10
W19	WEA A09	Bestand	Ja	Nein	-	265987	5894850	Vestas	V162-5.6 MW	169.0	162.0	Modus 0	0.0	5600	2012	S	20	10
W20	WEA A10	Bestand	Ja	Nein	-	263749	5895104	Vestas	V162-5.6 MW	169.0	162.0	Modus 0	0.0	5600	2012	S	20	10
W21	WEA A11	Bestand	Ja	Nein	-	264081	5895388	Vestas	V162-5.6 MW	169.0	162.0	Modus 0	0.0	5600	2012	S	20	10
W22	WEA B01	Bestand	Ja	Nein	-	264269	5895018	Vestas	V162-6.0 MW	169.0	162.0	PO 6000	0.0	6000	2012	S	20	10
W23	WEA B02	Bestand	Ja	Nein	-	264716	5894872	Vestas	V162-6.0 MW	169.0	162.0	PO 6000	0.0	6000	2012	S	20	10
W24	WEA B03	Bestand	Ja	Nein	-	265036	5895090	Vestas	V162-6.0 MW	169.0	162.0	PO 6000	0.0	6000	2012	S	20	10
W25	WEA B04	Bestand	Ja	Nein	-	265064	5894705	Vestas	V162-6.0 MW	169.0	162.0	PO 6000	0.0	6000	2012	S	20	10
W26	WEA B05	Bestand	Ja	Nein	-	265853	5895207	Vestas	V162-6.0 MW	169.0	162.0	PO 6000	0.0	6000	2012	S	20	10
W27	WEA B06	Bestand	Ja	Nein	-	264464	5895277	Vestas	V162-6.0 MW	169.0	162.0	PO 6000	0.0	6000	2012	S	20	10
W28	W11	Bestand	Nein	-	-	265272	5894310	eno energy	eno 160-6.0 MW	165.0	160.0	mode6000-980	0.0	6000	2012	S	20	10
W29	W12	Bestand	Ja	Nein	-	265660	5894597	eno energy	eno 160-6.0 MW	165.0	160.0	mode6000-980	0.0	6000	2012	S	20	10
W30	W13	Bestand	Nein	-	-	270287	5898179	eno energy	eno 114-4000 kW	142.0	114.9	Mode 0	0.0	4000	2012	A	20	10
W31	W14	Bestand	Nein	-	-	270282	5896472	eno energy	eno 114-4000 kW	142.0	114.9	Mode 0	0.0	4000	2012	A	20	10
W32	W15	Bestand	Nein	-	-	270524	5896317	eno energy	eno 114-4000 kW	142.0	114.9	Mode 0	0.0	4000	2012	A	20	10
W33	W16	Bestand	Nein	-	-	270040	5896627	eno energy	eno 114-4000 kW	142.0	114.9	Mode 0	0.0	4000	2012	A	20	10
W34	W17	Bestand	Nein	-	-	269724	5898152	eno energy	eno 126-4000 kW	137.0	126.0	Mode 0	0.0	4000	2012	A	20	10
W35	W18	Bestand	Nein	-	-	269821	5897145	Vestas	V126-3.45 MW (HTq)	137.0	126.0	Mode 0/0-0S	0.0	3450	2012	A	20	10
W36	W19	Bestand	Nein	-	-	269825	5897519	Vestas	V126-3.45 MW (HTq)	137.0	126.0	Mode 0/0-0S	0.0	3450	2012	A	20	10
W37	W20	Bestand	Nein	-	-	270054	5897984	eno energy	eno 126-4000 kW	137.0	126.0	Mode 0	0.0	4000	2012	A	20	10
W38	W21	Bestand	Nein	-	-	269478	5897620	Vestas	V126-3.45 MW (HTq)	137.0	126.0	Mode 0/0-0S	0.0	3450	2012	A	20	10
W39	W22	Bestand	Nein	-	-	269859	5896854	eno energy	eno 126-4000 kW	137.0	126.0	Mode 0	0.0	4000	2012	A	20	10
W40	W23	Bestand	Nein	-	-	269479	5897070	eno energy	eno 126-4.8 MW	137.0	126.0	mode 4800	0.0	4800	2012	A	20	10

<sup>1</sup> Siehe Kapitel 1.4 Absatz 3

Interne W-Nr.	Bezeichnung Auftraggeber	Neu / Bestand	Innerhalb 10 D	Topografische Komplexität		UTM ETRS89 Zone 33		Hersteller	WEA Typ	NH <sup>2</sup> [m]	D [m]	Betriebsmodus	FEH [m]	P <sub>N</sub> [kW]	Prüfgrundlage DIBt	TK	Auslegungslebensdauer τ <sub>TP</sub> [a]	m <sub>max, TP</sub> [-]
				Komplex	Kategorie	X [m]	Y [m]											
W41	W24	Bestand	Nein	-		269988	5898255	eno energy	eno 126-4000 kW	137.0	126.0	Mode 0	0.0	4000	2012	A	20	10
W42	W27	Bestand	Nein	-		269821	5897808	eno energy	eno 114-4000 kW	142.0	114.9	Mode 0	0.0	4000	2012	A	20	10
W43	W28	Bestand	Nein	-		260217	5899926	Siemens	SWT-DD-142	165.0	142.0	Mode 1	0.0	4100	2012	B	20	10
W44	W29	Bestand	Nein	-		260771	5899761	Siemens	SWT-DD-142	165.0	142.0	Mode 1	0.0	4100	2012	B	20	10
W45	W30	Bestand	Nein	-		261039	5899457	Siemens	SWT-DD-142	165.0	142.0	Mode 1	0.0	4100	2012	B	20	10
W46	W31	Bestand	Nein	-		260588	5899315	Siemens	SWT-DD-142	165.0	142.0	Mode 1	0.0	4100	2012	B	20	10
W47	W32	Bestand	Nein	-		259952	5899385	Siemens	SWT-DD-142	165.0	142.0	Mode 1	0.0	4100	2012	B	20	10
W48	W33	Bestand	Nein	-		259608	5899626	Siemens	SWT-DD-142	165.0	142.0	Mode 1	0.0	4100	2012	B	20	10
W49	W34	Bestand	Nein	-		259771	5899934	Siemens	SWT-DD-142	165.0	142.0	Mode 1	0.0	4100	2012	B	20	10
W50	W35	Bestand	Nein	-		260352	5899601	Siemens	SWT-DD-142	165.0	142.0	Mode 1	0.0	4100	2012	B	20	10
W51	W36	Bestand	Nein	-		270078	5898537	Senvion	MM82	100.0	82.0	Standard	0.0	2050	2004	A	20	10
W52	W37	Bestand	Nein	-		270720	5898390	Senvion	MM82	100.0	82.0	Standard	0.0	2050	2004	A	20	10
W53	W38	Bestand	Nein	-		270504	5898600	Senvion	MM82	100.0	82.0	Standard	0.0	2050	2004	A	20	10
W54	W39	Bestand	Nein	-		270273	5898845	Senvion	MM82	100.0	82.0	Standard	0.0	2050	2004	A	20	10
W55	W40	Bestand	Nein	-		270117	5899253	Senvion	MM82	100.0	82.0	Standard	0.0	2050	2004	A	20	10
W56	W41	Bestand	Nein	-		270153	5899826	Senvion	MM92	100.0	82.0	Standard	0.0	2050	2012	A	20	10
W57	W42	Bestand	Nein	-		270328	5900371	Senvion	MM82	100.0	82.0	Standard	0.0	2050	2004	A	20	10
W58	W43	Bestand	Nein	-		270630	5900632	Senvion	MM82	100.0	82.0	Standard	0.0	2050	2004	A	20	10
W59	W44	Bestand	Nein	-		270940	5900617	Senvion	MM92	100.0	82.0	Standard	0.0	2050	2012	A	20	10
W60	W45	Bestand	Nein	-		271251	5900621	Senvion	MM82	100.0	82.0	Standard	0.0	2050	2004	A	20	10
W61	W46	Bestand	Nein	-		270812	5900887	Senvion	MM82	100.0	82.0	Standard	0.0	2050	2004	A	20	10
W62	W47	Bestand	Nein	-		271258	5900907	Senvion	MM82	100.0	82.0	Standard	0.0	2050	2004	A	20	10

Tabelle 2.2: Auslegungswindbedingungen der neu geplanten WEA

Interne W-Nr.	Prüf-grundlage	WZ	GK	v <sub>ave,TP</sub> [m/s]	k <sub>TP</sub> [-]	v <sub>m50,TP</sub> [m/s]	TK	δ <sub>TP</sub> [°]	α <sub>TP</sub> [-]	ρ <sub>TP</sub> [kg/m <sup>3</sup> ]	Auslegungslebensdauer τ <sub>TP</sub> [a]	Quelle
W1 – W11	DIBt 2012	S	S	7.5	2.22	37.6	S	8.0	0.27	1.224	25	[24.1] [24.2]

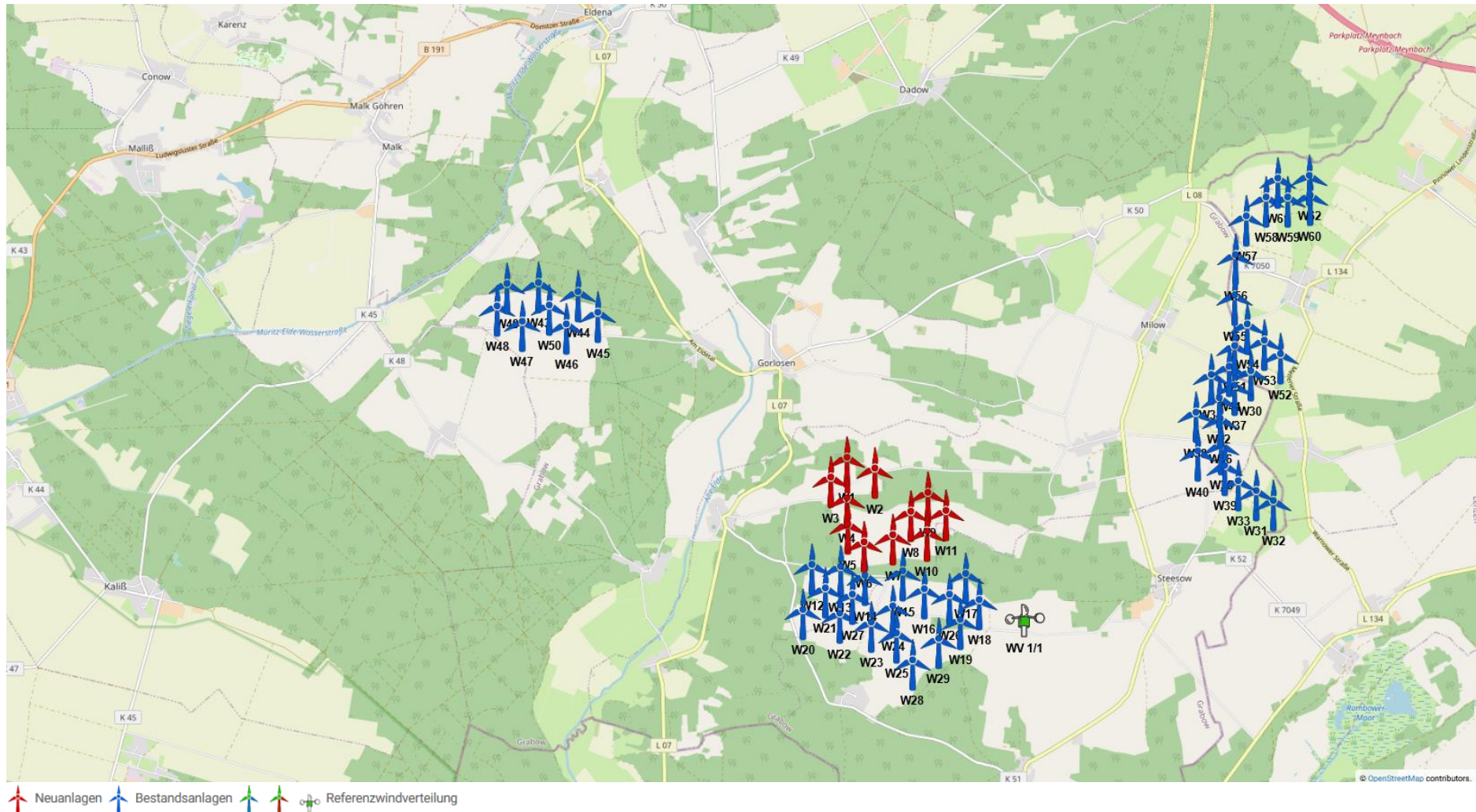
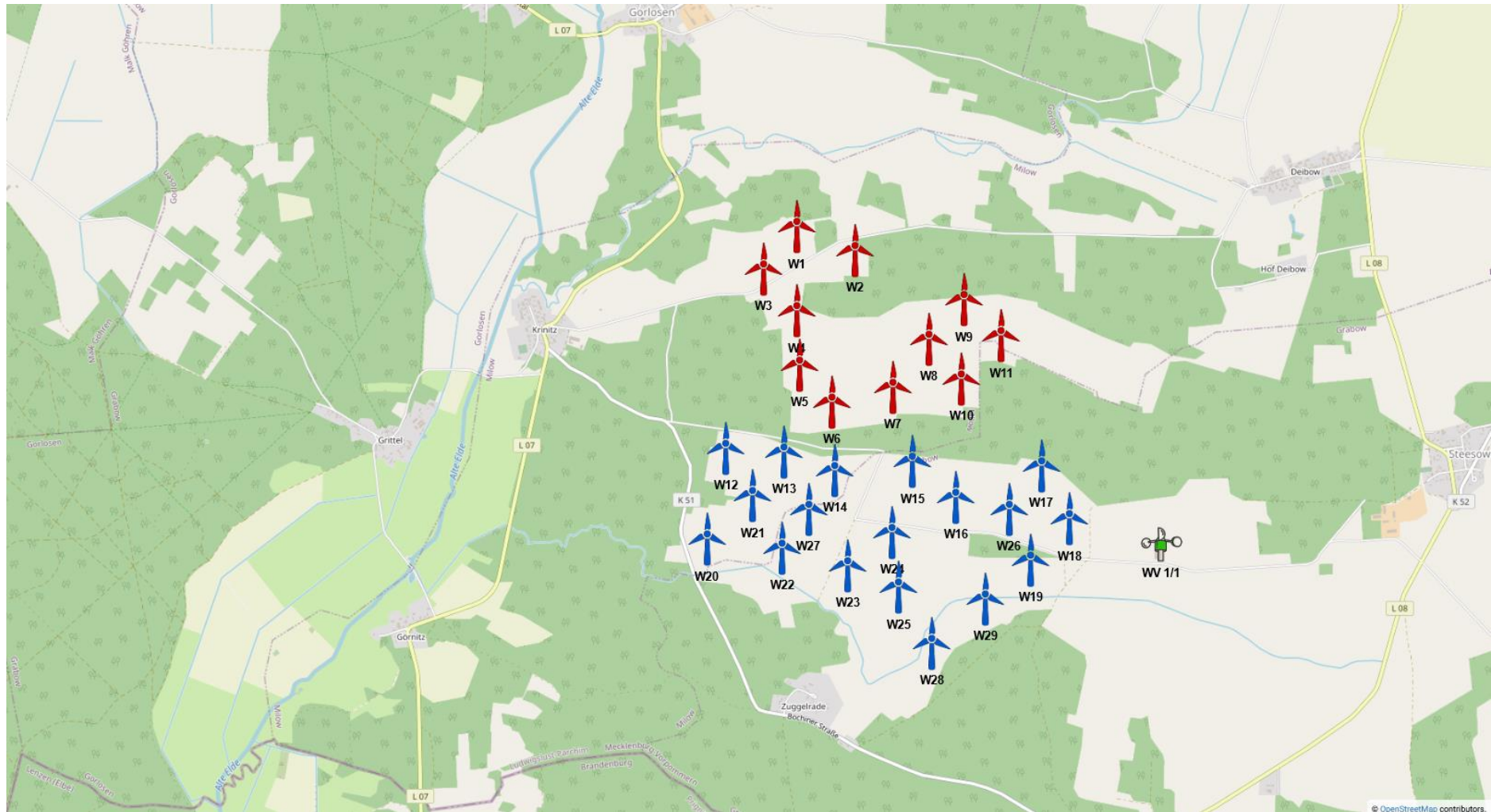


Abbildung 2.1: Zu untersuchende Windparkkonfiguration (Übersicht); Kartenmaterial: [19.1, 19.2]



 Neuanlagen 
  Bestandsanlagen 
       Referenzwindverteilung

Abbildung 2.2: Zu untersuchende Windparkkonfiguration (Projektgebiet); Kartenmaterial: [19.1, 19.2]

### 3 Vergleich der Windbedingungen

#### 3.1 Grundlagen

Vom Auftraggeber wurden standortbezogene Windverhältnisse, unterteilt in mindestens 12 Sektoren, übermittelt [22.1]. Diese werden als richtig und für den Standort repräsentativ vorausgesetzt.

Um die Windverhältnisse auf Nabenhöhe an jedem Anlagenstandort zu ermitteln, werden die Daten der Windverhältnisse [22.1] auf alle notwendigen Höhen umgerechnet, sofern diese nicht vorliegen. Die Umrechnung erfolgt auf Basis eines logarithmischen Windprofils und des am Standort der Windverteilung ermittelten Höhenexponenten  $\alpha$ . Bei der vertikalen Umrechnung wird der Formparameter  $k$  als invariant mit der Höhe angenommen und lediglich der Skalenparameter  $A$  umgerechnet. Eine horizontale Umrechnung vom Standort der Winddaten zu den jeweiligen WEA Standorten erfolgt nicht. Liegen in [22.1] mehrere Windverteilungen vor, werden diese den jeweiligen WEA zugeordnet. Tabelle 3.1 führt eine der in [22.1] übermittelten Windbedingungen am Standort auf.

Tabelle 3.1: Windverhältnisse am Standort WV1/1 [22.1]

UTM ETRS89 Zone 33			A [m/s]	k [-]	p [%]	v <sub>ave</sub> [m/s]
X [m]	Y [m]	h <sub>wv</sub> [m]				
266901	5894972	169.0				
Sektor   Windrichtung [°]						
N   0			6.3	2.49	3.8	-
NNO   30			6.1	2.23	3.8	-
ONO   60			6.5	2.73	4.9	-
O   90			7.7	2.50	5.6	-
OSO   120			7.2	2.40	5.5	-
SSO   150			7.6	2.50	8.2	-
S   180			8.5	2.58	8.1	-
SSW   210			9.4	2.31	9.2	-
WSW   240			9.8	2.62	16.9	-
W   270			9.5	2.37	16.7	-
WNW   300			8.2	2.53	11.1	-
NNW   330			6.8	2.72	6.3	-
Gesamt			8.4	2.30	100.1	7.40

## 3.2 Vergleich $v_{ave}$ und $v_{m50}$

### 3.2.1 Vergleich der mittleren Windgeschwindigkeit $v_{ave}$

Liegt der Typenprüfung einer entsprechend Abschnitt 1.2.1 zu untersuchenden WEA ein Formparameter  $k$  mit  $k = 2.0$  zu Grunde, ist der Vergleich der Windverhältnisse in Bezug auf die mittlere Windgeschwindigkeit  $v_{ave}$  auf Nabenhöhe jeder geplanten WEA so zu führen, dass gilt:

- i.  $v_{ave, NH} / v_{ave, TP} \leq 0.95$   
oder
- ii.  $v_{ave, NH} / v_{ave, TP} \leq 1.00$  und  $k_{NH} \geq 2.00$

Liegt der Typenprüfung einer entsprechend Abschnitt 1.2.1 zu untersuchenden WEA ein Formparameter  $k$  mit  $k \neq 2.0$  zu Grunde, ist der Vergleich der Windverhältnisse in Bezug auf die mittlere Windgeschwindigkeit  $v_{ave}$  jeder geplanten WEA wie folgt zu führen:

- i. Vergleich der Wahrscheinlichkeitsdichtefunktion der standortspezifischen Windgeschwindigkeiten  $pdf_{NH}$  mit der Wahrscheinlichkeitsdichtefunktion der Typenprüfung  $pdf_{TP}$  in einem Bereich von  $v_{ave} - 2v_{ave}$  nach [6] bzw.  $0.2v_{ref} - 0.4v_{ref}$  nach [7]. In dem zu untersuchenden Bereich muss die Bedingung  $pdf_{NH} \leq pdf_{TP}$  erfüllt sein.

Das Ergebnis der Berechnung der mittleren Windgeschwindigkeit  $v_{ave}$  und der Formparameter  $k$  der Weibullverteilung auf Nabenhöhe jeder neu geplanten WEA sind in Tabelle 3.2 dargestellt und werden mit den Auslegungswindbedingungen der jeweiligen WEA verglichen.

Tabelle 3.2: Vergleich der mittleren Windgeschwindigkeit  $v_{ave}$  auf Nabenhöhe der geplanten WEA

Interne W-Nr.	$v_{ave, NH}$ [m/s]	$v_{ave, TP}$ [m/s]	$k_{NH}$ [-]	$k_{TP}$ [-]	Wenn $k_{TP} = 2$ : $v_{ave, NH} / v_{ave, TP}$ [-]	Wenn $k_{TP} \neq 2$ : $pdf_{NH} \leq pdf_{TP}$	Nachweis möglich (gemäß 1.2.1)	Lastvergleich erforderlich (gemäß 1.2.3)
W1 – W11	7.40	7.50	2.30	2.22	-	Nein	Nein	Ja

### 3.2.2 Vergleich der 50-Jahres-Windgeschwindigkeit $v_{m50}$

Der Vergleich der 50-Jahreswindgeschwindigkeit  $v_{m50, NH}$  auf Nabenhöhe der geplanten WEA mit dem Auslegungswert kann auf zwei Wegen erfolgen. Wenn die WEA in einer Windzone errichtet werden soll, die niedriger oder gleich der Windzone ist, die der Typenprüfung zu Grunde liegt, reicht der Nachweis, dass die Windzone gemäß Typenprüfung die Windzone des betrachteten Standortes abdeckt [1.1]. Ist dies nicht der Fall, muss nachgewiesen werden, dass die 50-Jahreswindgeschwindigkeit  $v_{m50, TP}$  gemäß Typenprüfung die 50-Jahreswindgeschwindigkeit auf Nabenhöhe der geplanten WEA am Standort abdeckt [1.1, 4, 5]. Hierzu muss die 50-Jahreswindgeschwindigkeit  $v_{m50, NH}$  mittels einer geeigneten Methode (z.B. der Gumbel-Methode [10]) am Standort ermittelt werden.

Den nachzuweisenden Standorten wird nach DIBt 2012 [1.1], bzw. nach DIN EN 1991-1-4/NA:2010-12 mit DIN EN 1991-1-4:2010-12 [9] die in Tabelle 3.3 aufgeführte Windzone entsprechend [11] und die Geländekategorie, basierend auf den durch den Standortbesuch gewonnenen Erkenntnissen und den verwendeten Satellitendaten [13], zu Grunde gelegt. Da, nach [1.1], in Übergangsgebieten der Geländekategorien stets die Gleichungen der niedrigeren Kategorie anzusetzen sind, wird der Vergleich in solchen Fällen auf Basis der Gleichungen für die niedrigere Geländekategorie durchgeführt.

In der folgenden Tabelle 3.3 werden die Auslegungswindbedingungen hinsichtlich  $v_{m50}$  mit den standortspezifischen Windbedingungen verglichen. Wenn die geplanten WEA in einer Windzone errichtet werden sollen, die durch die Auslegungswindbedingungen abgedeckt ist, ist die Standorteignung hinsichtlich  $v_{m50}$  nachgewiesen. Ist der Standort nicht durch die Auslegungswindbedingungen  $v_{m50, TP}$  der geplanten WEA abgedeckt, erfolgt der Nachweis über eine standortspezifische Extremwindabschätzung [22.2]. Die Ergebnisse der standortspezifischen Extremwindabschätzung werden als richtig und repräsentativ für den Standort vorausgesetzt. Kann

der Nachweis durch keine der beiden Verfahrensweisen erbracht werden, kann der Nachweis ggf. durch einen Lastvergleich der Extremlasten nach Abschnitt 1.2.3 erbracht werden.

Tabelle 3.3: Vergleich der 50-Jahres-Windgeschwindigkeit  $v_{m50}$  auf Nabenhöhe der geplanten WEA

Interne W-Nr.	WZ <sub>TP</sub>	GK <sub>TP</sub>	$v_{m50, TP}$ [m/s]	WZ <sub>NH</sub>	GK <sub>NH</sub>	$v_{m50, NH}$ [1.1] [m/s]	$v_{m50, NH}$ [22.2] [m/s]	Nachweis möglich (gemäß 1.2.1)	Lastvergleich erforderlich (gemäß 1.2.3)
W1 - W11	S	S	37.60	2	II	39.30	27.95	Ja	Nein

### 3.3 Vergleich der effektiven Turbulenzintensität $I_{eff}$

#### 3.3.1 Auslegungswindbedingungen hinsichtlich der Turbulenzintensität

Für die Turbulenzintensität auf Nabenhöhe einer nach der DIBt 2012 [1.1] typengeprüften WEA gibt es windgeschwindigkeitsabhängige Auslegungswerte in fünf Kategorien, welche in der DIN EN IEC 61400-1:2019 [6] aufgeführt sind und der Typenprüfung zu Grunde gelegt werden müssen. Bei den Turbulenzkategorien wird zwischen den vorgegebenen Kategorien A+, A, B, C und der durch den WEA-Hersteller definierbaren Kategorie S unterschieden.

Für WEA die nach der DIBt 2004 [2] typengeprüft sind, muss die windgeschwindigkeitsabhängige Turbulenzkategorie A, welche in der DIN EN 61400-1:2004 [8] definiert ist, als Auslegungswindbedingung hinsichtlich der Turbulenzintensität zu Grunde gelegt sein. Für WEA die nach der DIBt 1993 [3] typengeprüft sind, ist eine konstante, mittlere effektive Turbulenzintensität  $I_{eff}$  von 0.20 als Auslegungswindbedingung anzusetzen.

In Tabelle 3.4 sind die unterschiedlichen Turbulenzkategorien und deren Verläufe dargestellt.

Tabelle 3.4: Richtlinienabhängige Auslegungswindbedingungen hinsichtlich der Turbulenzintensität

$v_{hub}$ [m/s]	DIBt 1993 [3]	DIBt 2004 [2]	DIBt 2012 [1.1] DIN EN IEC 61400-1:2019 [6]				S [-]
	Konstanter Mittelwert	NTM A [8] [-]	NTM A+ [6] [-]	NTM A [5, 6, 7] [-]	NTM B [5, 6, 7] [-]	NTM C [5, 6, 7] [-]	
2		0.570	0.639	0.568	0.497	0.426	-
3		0.420	0.471	0.419	0.366	0.314	-
4		0.345	0.387	0.344	0.301	0.258	-
5		0.300	0.337	0.299	0.262	0.224	-
6		0.270	0.303	0.269	0.236	0.202	-
7		0.249	0.279	0.248	0.217	0.186	-
8		0.233	0.261	0.232	0.203	0.174	-
9		0.220	0.247	0.220	0.192	0.165	-
10		0.210	0.236	0.210	0.183	0.157	-
11		0.202	0.227	0.201	0.176	0.151	-
12		0.195	0.219	0.195	0.170	0.146	-
13		0.189	0.213	0.189	0.165	0.142	-
14		0.184	0.207	0.184	0.161	0.138	-
15		0.180	0.202	0.180	0.157	0.135	-
16	-	0.176	0.198	0.176	0.154	0.132	-
17		0.173	0.194	0.173	0.151	0.130	-
18		0.170	0.191	0.170	0.149	0.127	-
19		0.167	0.188	0.167	0.146	0.125	-
20		0.165	0.185	0.165	0.144	0.124	-
21		0.163	0.183	0.163	0.142	0.122	-
22		0.161	0.181	0.161	0.141	0.121	-
23		0.159	0.179	0.159	0.139	0.119	-
24		0.158	0.177	0.157	0.138	0.118	-
25		0.156	0.175	0.156	0.136	0.117	-
26		0.155	0.174	0.154	0.135	0.116	-
27		0.153	0.172	0.153	0.134	0.115	-
28		0.152	0.171	0.152	0.133	0.114	-
29		0.151	0.170	0.151	0.132	0.113	-
30		0.150	0.169	0.150	0.131	0.112	-
Konstanter Mittelwert	0.200	-	-	-	-	-	-

Der Vergleich des standortspezifischen Turbulenzverlaufes mit den windgeschwindigkeitsabhängigen Auslegungswerten erfolgt bei WEA die nach der DIBt 2004 [2] typengeprüft sind, auf Basis der Werte für die Turbulenzkategorie A nach [1.1, 5, 6, 7], da diese die Werte nach [8] mit abdecken.

### 3.3.2 Ermittlung der Umgebungsturbulenzintensität

#### 3.3.2.1 Datengrundlage

Im Wesentlichen hängt die Umgebungsturbulenz  $I_{amb}$  von den Windverhältnissen, der Orographie und der Geländerauigkeit ab. Die Windverhältnisse aus [22.1] enthalten keinerlei Informationen zur Umgebungsturbulenzintensität vor Ort, somit wurde diese auf Basis der vorliegenden Informationen zur Bodenbedeckung [13] und der Topografie [14] am Standort auf Nabenhöhe ermittelt.

#### 3.3.2.2 Vorgehensweise

Die Umgebungsturbulenzintensität  $I_{amb}$  beschreibt im Allgemeinen die Schwankung der Windgeschwindigkeit in einem Zeitintervall von 600 s um ihren Mittelwert. Sie ist als der Quotient aus der Standardabweichung  $\sigma$  der Windgeschwindigkeit und der zugehörigen mittleren Windgeschwindigkeit  $v_{ave}$  in einem 600 s Intervall zu bilden [6, 7, 8]. Liegen Daten einer Windmessung am Standort vor, kann  $I_{amb}$  direkt, bzw.  $I_{char}$  durch Addition der 1fachen Standardabweichung der Umgebungsturbulenzintensität  $\sigma_\sigma$  [4, 8] und  $I_{rep}$  durch Addition der 1.28fachen Standardabweichung der Umgebungsturbulenzintensität  $\sigma_\sigma$  [6, 7] zu  $I_{amb}$  ermittelt werden. Durch Ermittlung der Windscherung, kann die auf Messhöhe ermittelte charakteristische, bzw. repräsentative Turbulenzintensität auf Nabenhöhe extrapoliert werden. Liegt keine Messung vor, muss die Umgebungsturbulenzintensität rechnerisch ermittelt werden.

Zur Berechnung von  $I_{amb}$  werden an jedem zu untersuchenden WEA Standort die flächenmäßigen Informationen zur Bodenbedeckung aus dem CORINE Datensatz [13] mit 20 km Radius um den Standort zu Grunde gelegt. Die in [13] enthaltenen Flächen verschiedener Bodenbedeckung werden nach den Empfehlungen des Europäischen Wind Atlas [12] in Flächen mit einer Rauigkeitslänge  $z_0$  konvertiert. Alle innerhalb eines Sektors liegenden Rauigkeitselemente werden abschließend nach Abstand und Größe gewichtet und in einen, für diesen Sektor, repräsentativen Rauigkeitswert umgerechnet. Aus den sektoriell vorliegenden Rauigkeitslängen wird mittels eines von der Rauigkeitslänge  $z_0$  abhängigen Profils die Umgebungsturbulenzintensität auf Nabenhöhe der jeweiligen WEA berechnet.

Da in der Richtlinie des Deutschen Instituts für Bautechnik DIBt 2012 [1.1] für die Ermittlung der Standorteignung bezüglich der effektiven Turbulenzintensitäten Turbulenzwerte für verschiedene Windgeschwindigkeiten gefordert sind, wird den ermittelten Werten für die Umgebungsturbulenzintensität das NTM nach [6, 7] zu Grunde gelegt. Der ermittelten Turbulenzkurve wird in Anlehnung an das vom Risø DTU National Laboratory entwickelte Verfahren im Windfarm Assessment Tool eine windgeschwindigkeitsabhängige Standardabweichung  $\sigma_\sigma$  unterstellt, die ebenfalls dem NTM Verlauf folgt [15]. Die Werte für die Standardabweichung der Umgebungsturbulenzintensität  $\sigma_\sigma$  sind so gewählt, dass die Summe aus der Referenzsturbulenzintensität nach NTM und dem 1fachen  $\sigma_\sigma$  die Referenzkurve nach [6, 7] ergibt.

Die repräsentative Turbulenzintensität  $I_{rep}$  wird nach dem beschriebenen Verfahren für jede zu betrachtende, nach DIBt 2012 [1.1] typen-/einzelgeprüfte, WEA auf Nabenhöhe ermittelt und den weiteren Berechnungen zu Grunde gelegt. Für Anlagen, deren Typen-/Einzelprüfung auf der Richtlinie DIBt 2004 [2] oder DIBt 1993 [3] basiert, findet die charakteristische Turbulenzintensität  $I_{char}$  Anwendung.

### 3.3.2.3 Untersuchung der topografischen Komplexität der Anlagenstandorte

Das verwendete Höhenmodell aus dem SRTM Datensatz [14] liegt in einer Auflösung von ca. 30 m vor und wird für die Ermittlung der topografischen Komplexität der Standorte herangezogen.

Die Standorte aller zu betrachtenden Anlagen werden basierend auf den Vorgaben der geltenden Norm DIN EN IEC 61400-1:2019 [6] auf topografische Komplexität untersucht und bewertet, da die topografische Komplexität eine Verzerrung und damit eine Abweichung der Turbulenzstruktur von den Auslegungswindbedingungen verursachen kann.

Die Komplexität eines Standortes wird durch die Neigung des Geländes und die Abweichungen der Topografie des Geländes von einer angenäherten Ebene dargestellt. Dazu werden mindestens 37 Ausgleichsebenen entsprechend der Kriterien aus [6] mittels der Methode der kleinsten Fehlerquadrate gebildet. Die DIN EN IEC 61400-1:2019 [6] lässt die Möglichkeit offen, die angenäherte Ebene für die Kreissektoren mit dem Radius  $5 z_{hub}$  leewärts zur Position der zu untersuchenden WEA um  $2 z_{hub}$  zu erweitern. Diese Erweiterung wird bei der Komplexitätsbewertung im vorliegenden Gutachten angewendet. In Abhängigkeit der Neigung der angenäherten Ebenen, der Abweichung des digitalen Geländemodells [14] von dieser und des Anteils der Windenergie aus dem betrachteten Sektor, lassen sich die Indizes  $TSI$  für die Geländeneigung und  $TVI$  für die Geländeabweichung berechnen. Überschreitet einer der berechneten Indizes die in Tabelle 3.5 aufgeführten Schwellenwerte, ist der untersuchte Standort als topografisch komplex zu bewerten, wobei der jeweils überschrittene Schwellenwert die Geländekomplexitätskategorie L, M oder H bestimmt.

Nach [6] hat an topografisch komplexen Standorten eine Erhöhung der longitudinalen Komponente der Umgebungsturbulenzintensität durch Multiplikation mit einem Turbulenzstrukturparameter  $C_{CT}$  gemäß Tabelle 3.5 zu erfolgen.

Tabelle 3.5: Komplexitätskriterien und  $C_{CT}$  nach DIN EN IEC 61400-1:2019 [6]

Radius der Kreisfläche um die WEA [m]	Sektoramplitude der angenäherten Ausgleichsebene [°]	Schwellenwerte (untere Grenze)					
		Index der Geländeneigung $TSI$ [°]			Index der Geländeabweichung $TVI$ [%]		
		L	M	H	L	M	H
$5 z_{hub}$	360	10	15	20	2	4	6
$5 z_{hub}$	30						
$10 z_{hub}$							
$20 z_{hub}$							
	<b>Kategorie</b>						
	<b>L</b>	<b>M</b>		<b>H</b>			
$C_{CT}$	1.05	1.10		1.15			

Die Ergebnisse der Bewertung der topografischen Komplexität der zu untersuchenden WEA können Tabelle 2.1 entnommen werden.

### 3.3.2.4 Repräsentative Turbulenzintensität

In Tabelle 3.6 werden die sektoriell nach dem in Abschnitt 3.3.2.2 beschriebenen Verfahren ermittelten, repräsentativen Turbulenzintensitäten, bezogen auf eine Windgeschwindigkeit von 15 m/s, für eine Anlagenposition aufgeführt.

Tabelle 3.6: Repräsentative Turbulenzintensität für einen Standort

Standort: W1	NH: 169 m	$I_{rep}$ [-]
Sektor	Windrichtung [°]	
N	0	0.133
NNO	30	0.140
ONO	60	0.122
O	90	0.128
OSO	120	0.133
SSO	150	0.133
S	180	0.132
SSW	210	0.134
WSW	240	0.132
W	270	0.137
WNW	300	0.135
NNW	330	0.129

### 3.3.3 Ermittlung der effektiven Turbulenzintensität $I_{eff}$

#### 3.3.3.1 Grundlagen

Die effektive Turbulenzintensität  $I_{eff}$  ist definiert als die mittlere Turbulenzintensität, die über die Lebensdauer einer WEA dieselbe Materialermüdung verursacht, wie die am Standort herrschenden, verschiedenen Turbulenzen. Die Materialkennzahl, die maßgeblich in die Berechnung der effektiven Turbulenzintensität einfließt, ist der Wöhlerlinienkoeffizient  $m$ . Im vorliegenden Gutachten liegt jeder zu betrachtenden WEA der anlagenspezifische Wöhlerlinienkoeffizient zu Grunde, der die strukturschwächste Komponente repräsentiert. Hierbei handelt es sich im Regelfall um die Rotorblätter einer WEA, welche durch Wöhlerlinienkoeffizienten zwischen  $m = 10$  für glasfaserverstärkte Verbundwerkstoffe und  $m = 15$  für kohlefaserverstärkte Verbundwerkstoffe abgedeckt werden. Dadurch werden alle Komponenten einer WEA in die Betrachtung mit einbezogen.

Grundsätzlich setzt sich die effektive Turbulenzintensität  $I_{eff}$  an einer WEA aus der Umgebungsturbulenzintensität und der durch den Nachlauf anderer WEA induzierten Turbulenzintensität, dem sogenannten „Wake-Effekt“, zusammen. Hierbei sind je nach zu Grunde gelegter Richtlinie unterschiedliche Berücksichtigungen der Standardabweichung der Umgebungsturbulenzintensität  $\sigma_\sigma$  zu berücksichtigen.

Die Berechnung der induzierten Turbulenzintensität erfolgt nach den Ausarbeitungen in [10], Kapitel 2.4.4, wenn alle hierfür erforderlichen Anlagenparameter vorliegen oder konservativ abdeckend ermittelt werden konnten. Andernfalls erfolgt die Berechnung der induzierten Turbulenzintensität nach den Ausarbeitungen in [16], sowie den informativen Anhängen in [6] und [7]. Die generelle Vorgehensweise zur Ermittlung der effektiven Turbulenzintensität  $I_{eff}$  erfolgt in beiden Fällen entsprechend den Anforderungen aus [6] und [7].

Die induzierte Turbulenzintensität wird in [10] als eine Funktion beschrieben, die von den Abständen der WEA untereinander, der Umgebungsturbulenzintensität und von anlagenspezifischen Kenngrößen abhängig ist. Diese Kenngrößen sind einerseits der windgeschwindigkeitsabhängige Schubbeiwert  $c_t$ , als auch die windgeschwindigkeitsabhängige Schnelllaufzahl  $\lambda$  der turbulenzinduzierenden WEA. Das Modell bildet sowohl den voll ausgebildeten Nachlauf als auch den nicht voll ausgebildeten Nachlauf

hinter einer WEA ab. Die anlagenspezifischen Werte  $c_t$  und  $\lambda$  sind vom Anlagenhersteller übermittelt. Wenn für eine zu betrachtende WEA diese Werte nicht vorliegen, werden Sie, wenn möglich, auf Basis der Anlagenparameter wie Drehzahl und Rotordurchmesser ermittelt, oder durch eine konservativ abdeckende Standardkurve ersetzt. Der Ermittlung von  $I_{eff}$  werden die am Standort herrschenden geometrischen Verhältnisse, sowie die am Standort herrschenden Windbedingungen zu Grunde gelegt. Da in [10] keine Aussage zum berücksichtigenden Einflussbereich der WEA untereinander getroffen wird, werden sowohl die Bereiche im Volleinfluss (Rotor der WEA steht voll im Nachlauf einer anderen WEA), als auch die Bereiche im Teileinfluss (Rotor der WEA steht nur teilweise im Nachlauf einer anderen WEA) bei der Berechnung von  $I_{eff}$  berücksichtigt, was somit den konservativsten Ansatz darstellt.

Die induzierte Turbulenzintensität wird in [16] als eine Funktion beschrieben, die von den Abständen  $s$  der WEA untereinander und vom windgeschwindigkeitsabhängigen Schubbeiwert  $c_t$  abhängig ist. Die anlagenspezifischen  $c_t$  Werte sind vom Anlagenhersteller übermittelt. Wenn für eine zu betrachtende WEA diese Werte nicht vorliegen, werden Sie durch eine konservativ abdeckende Standardkurve ersetzt. Der Ermittlung von  $I_{eff}$  werden die am Standort herrschenden geometrischen Verhältnisse, sowie die am Standort herrschenden Windbedingungen zu Grunde gelegt. Da in [16] eine eindeutige Aussage zum berücksichtigenden Einflussbereich der WEA untereinander getroffen wird, wird genau dieser Bereich bei der Berechnung von  $I_{eff}$  berücksichtigt.

Die Ermittlung der induzierten Turbulenzintensität muss durchgeführt werden, solange sich eine WEA in einem Abstand  $s$  kleiner  $10 D$  von der zu betrachtenden Anlage befindet [6, 7, 8]. Ist der Abstand  $s$  aller WEA im Umfeld grösser  $10 D$ , bezogen auf die jeweils turbulenzinduzierende WEA, muss deren Einfluss nicht mehr berücksichtigt werden.

In keiner der zu Grunde gelegten Richtlinien und Normen [1.1 - 8] werden hinsichtlich des Abstandes  $s$  von WEA Grenzen definiert, bis zu welchen die Ergebnisse der effektiven Turbulenzintensitäten  $I_{eff}$  anwendbar oder belastbar sind. Dasselbe gilt für die in [10] und [16] beschriebenen Turbulenzmodelle. Verschiedene Untersuchungen und Ausarbeitungen haben gezeigt, dass die Turbulenzmodelle auch bei geringen relativen Abständen  $s$  im Bereich  $3 D \geq s \geq 2 D$  konservative Ergebnisse liefern und belastbar sind. Diese Ergebnisse können sowohl für einen Vergleich der Windbedingungen entsprechend Abschnitt 1.2.1 als auch für einen Nachweis gemäß 1.2.3 herangezogen werden. Die Ergebnisse der ermittelten, effektiven Turbulenzintensitäten bei Anlagenabständen  $s$  von unter  $2.0 D$  sollten nicht mehr für eine standortspezifische Lastrechnung (siehe Abschnitt 1.2.3) herangezogen werden. In diesen Nachlaufsituationen ist eine Abschaltung erforderlich. Eine Ausnahme bilden Abstände  $s$  von unter  $2.0 D$  in Verbindung mit einem großen Nabhöhenunterschied der betrachteten WEA. In solch einer Situation kann es durch die geometrischen Verhältnisse dazu kommen, dass der Nachlauf der turbulenzinduzierenden WEA über bzw. unter der Rotorkreisfläche der beeinflussten WEA strömt. In diesem Fall sind keine Betriebsbeschränkungen bzw. Abschaltungen erforderlich.

Die ermittelten Werte für  $I_{eff}$  werden den Auslegungswerten, die der Typen-/Einzelprüfung der betrachteten Anlage zu Grunde liegen, gegenübergestellt. Liegen die ermittelten Werte nicht oberhalb der Auslegungswerte, gilt eine Standorteignung hinsichtlich der effektiven Turbulenzintensität als nachgewiesen. Liegen die Werte über den Auslegungswerten, kann eine Standorteignung hinsichtlich der effektiven Turbulenzintensität nicht durch den Vergleich mit den Auslegungswerten nachgewiesen werden. Der Nachweis der Standorteignung kann in diesem Fall jedoch durch eine standortspezifische Lastrechnung seitens des Anlagenherstellers oder eines unabhängigen Dritten erfolgen.

### 3.3.3.2 Berücksichtigte sektorielle Betriebsbeschränkungen (WSM)

Bei der Berechnung der effektiven Turbulenzintensität  $I_{\text{eff}}$  können sektorielle Betriebsbeschränkungen (WSM) an WEA berücksichtigt werden. Die Betriebsbeschränkungen können sich aus beispielsweise zu geringen Abständen  $s$  ergeben, oder Bestandteil der Genehmigung bereits bestehender WEA sein. Des Weiteren kann ein WSM dafür genutzt werden, den Einfluss einer neu geplanten WEA auf den zu berücksichtigenden Bestand derart zu reduzieren, dass die geplante WEA keinen signifikanten Einfluss mehr auf die effektive Turbulenzintensität  $I_{\text{eff}}$  einer Bestandsanlage hat oder um Überschreitungen der effektiven Turbulenzintensität  $I_{\text{eff}}$  an dieser zu verhindern. Die im Folgenden aufgeführten Betriebsbeschränkungen stellen immer eine Mindestanforderung dar, deren technische Umsetzbarkeit nicht geprüft wurde. Wenn möglich, wird für jedes WSM an einer beeinflussenden WEA ein alternatives WSM an der beeinflussten WEA ausgewiesen. Hierbei handelt es sich in der Regel um eine Abschaltung an der beeinflussten WEA, da die Lasten an einer abgeschalteten WEA geringer sind als die Lasten im frei angeströmten Betrieb. Die ausgewiesenen Alternativen stellen einen Vorschlag dar, werden aber nicht in der Berechnung der effektiven Turbulenzintensität  $I_{\text{eff}}$  berücksichtigt. Soll eine ausgewiesene Alternative berücksichtigt werden, erfordert dies eine neue Bewertung hinsichtlich der effektiven Turbulenzintensität  $I_{\text{eff}}$ .

Bei der Berechnung der effektiven Turbulenzintensität  $I_{\text{eff}}$  wurden keine sektoriellen Betriebsbeschränkungen berücksichtigt.

### 3.3.3.3 Ergebnis

Die folgende Tabelle 3.7 stellt die ermittelten effektiven Turbulenzintensitäten vor Zubau der geplanten WEA in Abhängigkeit der Windgeschwindigkeit dar. Aufgeführt werden nur Bestands-WEA, für die ein Vergleich der Situation vor mit der Situation nach dem geplanten Zubau durchgeführt wird. Tabelle 3.8 stellt die ermittelten effektiven Turbulenzintensitäten nach Zubau der geplanten WEA in Abhängigkeit von der Windgeschwindigkeit dar. Die nach der jeweils zu Grunde gelegten Richtlinie ermittelten effektiven Turbulenzintensitäten werden der Referenzkurve nach DIBt 2012 [1.1] oder der Referenzkurve der jeweiligen Typenprüfung gegenübergestellt. Überschreitungen sind **fett kursiv** dargestellt.

Tabelle 3.7: Ermittelte effektive Turbulenzintensitäten  $I_{eff}$  (vor Zubau)

$v_{hub}$	W16[S1]	W17[S1]	W18[S1]	W19[S1]	W21[S1]	W22[S1]	W23[S1]	W24[S1]	W25[S1]	W26[S1]	W27[S1]	W29[S2]	Referenz Klasse S1	Referenz Klasse S2
3	0.377	0.370	0.378	<b>0.392</b>	<b>0.393</b>	0.390	0.378	0.384	<b>0.392</b>	<b>0.392</b>	<b>0.414</b>	0.366	0.390	0.393
4	0.334	0.328	0.337	0.336	0.350	0.347	0.334	0.340	0.341	0.350	<b>0.373</b>	0.311	0.360	0.323
5	0.323	0.321	0.325	0.320	0.334	<b>0.340</b>	0.327	0.334	0.332	0.334	<b>0.367</b>	<b>0.288</b>	0.334	0.281
6	0.303	0.306	0.306	0.299	<b>0.313</b>	<b>0.321</b>	<b>0.310</b>	<b>0.319</b>	<b>0.316</b>	<b>0.310</b>	<b>0.349</b>	<b>0.265</b>	0.307	0.253
7	0.283	<b>0.288</b>	<b>0.287</b>	0.277	<b>0.292</b>	<b>0.296</b>	<b>0.287</b>	<b>0.300</b>	<b>0.294</b>	<b>0.290</b>	<b>0.328</b>	<b>0.246</b>	0.284	0.233
8	<b>0.268</b>	<b>0.275</b>	<b>0.274</b>	0.259	<b>0.276</b>	<b>0.275</b>	<b>0.269</b>	<b>0.285</b>	<b>0.277</b>	<b>0.277</b>	<b>0.312</b>	<b>0.232</b>	0.265	0.218
9	<b>0.254</b>	<b>0.259</b>	<b>0.263</b>	0.240	<b>0.262</b>	<b>0.253</b>	0.248	<b>0.267</b>	<b>0.256</b>	<b>0.269</b>	<b>0.294</b>	<b>0.218</b>	0.252	0.206
10	0.226	<b>0.233</b>	<b>0.235</b>	0.214	<b>0.232</b>	0.220	0.220	<b>0.240</b>	0.228	<b>0.237</b>	<b>0.261</b>	<b>0.199</b>	0.229	0.197
11	0.198	0.206	0.207	0.194	0.202	0.190	0.194	<b>0.213</b>	0.202	0.205	<b>0.229</b>	0.183	0.207	0.189
12	0.178	0.185	0.186	0.179	0.180	0.169	0.173	<b>0.191</b>	0.181	0.184	<b>0.203</b>	0.171	0.187	0.183
13	0.165	<b>0.171</b>	<b>0.173</b>	0.167	0.166	0.156	0.160	<b>0.176</b>	0.166	<b>0.170</b>	<b>0.185</b>	0.161	0.169	0.177
14	0.156	<b>0.161</b>	<b>0.163</b>	0.158	0.156	0.148	0.150	<b>0.165</b>	0.155	0.159	<b>0.173</b>	0.154	0.160	0.173
15	0.148	0.153	<b>0.155</b>	0.151	0.148	0.142	0.143	<b>0.156</b>	0.147	0.151	<b>0.163</b>	0.147	0.154	0.169
16	0.142	0.147	0.148	0.145	0.142	0.137	0.138	<b>0.150</b>	0.141	0.145	<b>0.155</b>	0.142	0.149	0.165
17	0.138	0.142	0.143	0.140	0.137	0.133	0.134	0.144	0.136	0.140	<b>0.148</b>	0.138	0.145	0.162
18	0.134	0.137	0.139	0.136	0.133	0.130	0.131	0.139	0.132	0.136	<b>0.143</b>	0.134	0.142	0.159
19	0.130	0.133	0.134	0.132	0.129	0.127	0.128	0.134	0.129	0.132	0.137	0.131	0.139	0.157
20	0.127	0.129	0.130	0.129	0.126	0.125	0.125	0.130	0.126	0.128	0.133	0.128	0.137	0.155
21	0.124	0.126	0.127	0.127	0.124	0.123	0.123	0.126	0.124	0.126	0.128	0.126	0.137	0.153
22	0.122	0.123	0.124	0.124	0.121	0.121	0.121	0.124	0.122	0.123	0.125	0.124	0.135	0.151
23	0.120	0.121	0.122	0.122	0.120	0.119	0.119	0.121	0.120	0.121	0.122	0.122	0.133	0.149
24	0.118	0.119	0.120	0.121	0.118	0.118	0.118	0.119	0.118	0.119	0.120	0.120	0.131	0.148

Tabelle 3.8: Ermittelte effektive Turbulenzintensitäten  $I_{eff}$  (nach Zubau) (Teil 1)

$v_{hub}$	W1[S1]	W2[S1]	W3[S1]	W4[S1]	W5[S1]	W6[S1]	W7[S1]	W8[S1]	W9[S1]	W10[S1]	W11[S1]	W12[S2]	W13[S2]	W14[S2]	Referenz Klasse S1	Referenz Klasse S2
3	0.361	0.352	0.370	<b>0.373</b>	<b>0.380</b>	<b>0.381</b>	0.367	<b>0.381</b>	<b>0.376</b>	<b>0.376</b>	<b>0.373</b>	0.366	<b>0.394</b>	<b>0.402</b>	0.370	0.390
4	0.327	0.312	0.335	0.340	<b>0.346</b>	<b>0.346</b>	0.328	<b>0.347</b>	<b>0.343</b>	<b>0.341</b>	0.340	0.324	0.352	<b>0.362</b>	0.340	0.360
5	<b>0.321</b>	0.301	<b>0.328</b>	<b>0.334</b>	<b>0.341</b>	<b>0.340</b>	<b>0.316</b>	<b>0.341</b>	<b>0.340</b>	<b>0.333</b>	<b>0.336</b>	0.304	<b>0.338</b>	<b>0.354</b>	0.306	0.334
6	<b>0.304</b>	<b>0.282</b>	<b>0.306</b>	<b>0.314</b>	<b>0.320</b>	<b>0.319</b>	<b>0.295</b>	<b>0.319</b>	<b>0.321</b>	<b>0.313</b>	<b>0.316</b>	0.282	<b>0.316</b>	<b>0.339</b>	0.281	0.307
7	<b>0.285</b>	<b>0.264</b>	<b>0.283</b>	<b>0.293</b>	<b>0.297</b>	<b>0.297</b>	<b>0.276</b>	<b>0.297</b>	<b>0.300</b>	<b>0.290</b>	<b>0.296</b>	0.264	<b>0.296</b>	<b>0.320</b>	0.260	0.284
8	<b>0.270</b>	<b>0.249</b>	<b>0.264</b>	<b>0.275</b>	<b>0.277</b>	<b>0.279</b>	<b>0.260</b>	<b>0.278</b>	<b>0.283</b>	<b>0.271</b>	<b>0.278</b>	0.252	<b>0.283</b>	<b>0.305</b>	0.243	0.265
9	<b>0.258</b>	<b>0.237</b>	<b>0.248</b>	<b>0.260</b>	<b>0.261</b>	<b>0.264</b>	<b>0.248</b>	<b>0.263</b>	<b>0.270</b>	<b>0.256</b>	<b>0.265</b>	0.243	<b>0.274</b>	<b>0.288</b>	0.230	0.252
10	<b>0.235</b>	<b>0.217</b>	<b>0.220</b>	<b>0.233</b>	<b>0.232</b>	<b>0.237</b>	<b>0.226</b>	<b>0.236</b>	<b>0.244</b>	<b>0.230</b>	<b>0.239</b>	0.216	<b>0.244</b>	<b>0.260</b>	0.216	0.229
11	<b>0.209</b>	<b>0.195</b>	0.192	<b>0.205</b>	<b>0.201</b>	<b>0.207</b>	<b>0.202</b>	<b>0.208</b>	<b>0.216</b>	<b>0.203</b>	<b>0.212</b>	0.188	<b>0.213</b>	<b>0.230</b>	0.192	0.207
12	<b>0.187</b>	<b>0.177</b>	<b>0.169</b>	<b>0.181</b>	<b>0.176</b>	<b>0.184</b>	<b>0.182</b>	<b>0.185</b>	<b>0.191</b>	<b>0.181</b>	<b>0.189</b>	0.168	<b>0.191</b>	<b>0.203</b>	0.168	0.187
13	<b>0.172</b>	<b>0.165</b>	0.155	<b>0.165</b>	<b>0.160</b>	<b>0.168</b>	<b>0.170</b>	<b>0.170</b>	<b>0.176</b>	<b>0.167</b>	<b>0.174</b>	0.155	<b>0.176</b>	<b>0.186</b>	0.158	0.169
14	<b>0.161</b>	<b>0.156</b>	0.145	<b>0.154</b>	<b>0.150</b>	<b>0.157</b>	<b>0.160</b>	<b>0.159</b>	<b>0.164</b>	<b>0.157</b>	<b>0.163</b>	0.146	<b>0.165</b>	<b>0.173</b>	0.147	0.160
15	<b>0.153</b>	<b>0.149</b>	0.139	<b>0.146</b>	0.142	<b>0.149</b>	<b>0.153</b>	<b>0.151</b>	<b>0.155</b>	<b>0.150</b>	<b>0.155</b>	0.140	<b>0.157</b>	<b>0.163</b>	0.142	0.154
16	<b>0.147</b>	<b>0.144</b>	0.134	<b>0.140</b>	<b>0.137</b>	<b>0.143</b>	<b>0.147</b>	<b>0.145</b>	<b>0.149</b>	<b>0.144</b>	<b>0.148</b>	0.135	<b>0.150</b>	<b>0.155</b>	0.136	0.149
17	<b>0.141</b>	<b>0.139</b>	0.131	<b>0.135</b>	0.133	<b>0.138</b>	<b>0.142</b>	<b>0.140</b>	<b>0.143</b>	<b>0.139</b>	<b>0.143</b>	0.131	0.145	<b>0.149</b>	0.133	0.145
18	<b>0.136</b>	<b>0.135</b>	0.128	<b>0.131</b>	<b>0.130</b>	<b>0.134</b>	<b>0.137</b>	<b>0.135</b>	<b>0.137</b>	<b>0.135</b>	<b>0.138</b>	0.128	0.140	<b>0.143</b>	0.129	0.142
19	<b>0.132</b>	<b>0.131</b>	0.126	<b>0.128</b>	<b>0.128</b>	<b>0.130</b>	<b>0.133</b>	<b>0.131</b>	<b>0.133</b>	<b>0.131</b>	<b>0.134</b>	0.126	0.136	0.137	0.127	0.139
20	<b>0.129</b>	<b>0.128</b>	0.124	<b>0.126</b>	<b>0.125</b>	<b>0.127</b>	<b>0.130</b>	<b>0.128</b>	<b>0.129</b>	<b>0.128</b>	<b>0.130</b>	0.124	0.131	0.133	0.124	0.137
21	<b>0.126</b>	<b>0.125</b>	0.122	<b>0.124</b>	<b>0.124</b>	<b>0.125</b>	<b>0.127</b>	<b>0.125</b>	<b>0.126</b>	<b>0.126</b>	<b>0.127</b>	0.122	0.128	0.129	0.123	0.137
22	<b>0.123</b>	<b>0.123</b>	0.121	0.122	0.122	<b>0.123</b>	<b>0.124</b>	<b>0.123</b>	<b>0.123</b>	<b>0.123</b>	<b>0.124</b>	0.121	0.125	0.125	0.122	0.135
23	<b>0.121</b>	<b>0.121</b>	0.120	<b>0.121</b>	0.120	<b>0.121</b>	<b>0.122</b>	<b>0.121</b>	<b>0.121</b>	<b>0.121</b>	<b>0.122</b>	0.119	0.122	0.123	0.120	0.133
24	<b>0.119</b>	<b>0.119</b>	0.118	<b>0.119</b>	<b>0.119</b>	<b>0.119</b>	<b>0.120</b>	<b>0.119</b>	<b>0.120</b>	<b>0.120</b>	<b>0.120</b>	0.118	0.120	0.120	0.118	0.131
25	-	-	-	-	-	-	-	-	-	-	-	-	0.116	-	-	0.130

Tabelle 3.9: Ermittelte effektive Turbulenzintensitäten  $I_{\text{eff}}$  (nach Zubau) (Teil 2)

$v_{\text{hub}}$	W15[S1]	W16[S1]	W17[S1]	W18[S1]	W19[S1]	W20[S1]	W21[S1]	W22[S1]	W23[S1]	W24[S1]	W25[S1]	W26[S1]	W27[S1]	W29[S2]	Referenz Klasse S1	Referenz Klasse S2
3	0.369	0.378	0.371	0.378	<b>0.392</b>	0.342	<b>0.393</b>	0.390	0.378	0.384	<b>0.392</b>	<b>0.392</b>	<b>0.414</b>	0.366	0.390	0.393
4	0.325	0.334	0.329	0.337	0.336	0.295	0.350	0.347	0.334	0.340	0.341	0.350	<b>0.373</b>	0.311	0.360	0.323
5	0.308	0.323	0.322	0.325	0.320	0.275	0.334	<b>0.340</b>	0.327	0.334	0.332	0.334	<b>0.367</b>	<b>0.288</b>	0.334	0.281
6	0.286	0.304	0.307	0.306	0.299	0.253	<b>0.313</b>	<b>0.321</b>	<b>0.310</b>	<b>0.319</b>	<b>0.316</b>	<b>0.310</b>	<b>0.349</b>	<b>0.265</b>	0.307	0.253
7	0.267	0.284	<b>0.288</b>	<b>0.287</b>	0.277	0.233	<b>0.292</b>	<b>0.296</b>	<b>0.287</b>	<b>0.300</b>	<b>0.294</b>	<b>0.290</b>	<b>0.328</b>	<b>0.246</b>	0.284	0.233
8	0.253	<b>0.268</b>	<b>0.275</b>	<b>0.274</b>	0.259	0.217	<b>0.276</b>	<b>0.275</b>	<b>0.269</b>	<b>0.285</b>	<b>0.277</b>	<b>0.277</b>	<b>0.312</b>	<b>0.232</b>	0.265	0.218
9	0.242	<b>0.254</b>	<b>0.260</b>	<b>0.263</b>	0.240	0.204	<b>0.262</b>	<b>0.253</b>	0.248	<b>0.267</b>	<b>0.256</b>	<b>0.269</b>	<b>0.294</b>	<b>0.218</b>	0.252	0.206
10	0.216	0.226	<b>0.233</b>	<b>0.235</b>	0.214	0.180	<b>0.232</b>	0.220	0.220	<b>0.240</b>	0.228	<b>0.237</b>	<b>0.261</b>	<b>0.199</b>	0.229	0.197
11	0.191	0.198	0.207	0.207	0.194	0.161	0.202	0.190	0.194	<b>0.213</b>	0.202	0.205	<b>0.229</b>	0.183	0.207	0.189
12	0.173	0.178	0.186	0.186	0.179	0.150	0.180	0.169	0.173	<b>0.191</b>	0.181	0.184	<b>0.203</b>	0.171	0.187	0.183
13	0.162	0.165	<b>0.172</b>	<b>0.173</b>	0.167	0.143	0.166	0.156	0.160	<b>0.176</b>	0.166	<b>0.170</b>	<b>0.185</b>	0.161	0.169	0.177
14	0.153	0.156	<b>0.161</b>	<b>0.163</b>	0.158	0.138	0.156	0.148	0.150	<b>0.165</b>	0.155	0.159	<b>0.173</b>	0.154	0.160	0.173
15	0.147	0.148	0.153	<b>0.155</b>	0.151	0.134	0.148	0.142	0.143	<b>0.156</b>	0.147	0.151	<b>0.163</b>	0.147	0.154	0.169
16	0.142	0.142	0.147	0.148	0.145	0.131	0.142	0.137	0.138	<b>0.150</b>	0.141	0.145	<b>0.155</b>	0.142	0.149	0.165
17	0.137	0.138	0.142	0.143	0.140	0.128	0.137	0.133	0.134	0.144	0.136	0.140	<b>0.148</b>	0.138	0.145	0.162
18	0.134	0.134	0.137	0.139	0.136	0.126	0.133	0.130	0.131	0.139	0.132	0.136	<b>0.143</b>	0.134	0.142	0.159
19	0.130	0.130	0.133	0.134	0.132	0.124	0.129	0.127	0.128	0.134	0.129	0.132	0.137	0.131	0.139	0.157
20	0.127	0.127	0.129	0.130	0.129	0.122	0.126	0.125	0.125	0.130	0.126	0.128	0.133	0.128	0.137	0.155
21	0.125	0.124	0.126	0.127	0.127	0.121	0.124	0.123	0.123	0.126	0.124	0.126	0.128	0.126	0.137	0.153
22	0.123	0.122	0.123	0.124	0.124	0.119	0.121	0.121	0.121	0.124	0.122	0.123	0.125	0.124	0.135	0.151
23	0.121	0.120	0.121	0.122	0.122	0.118	0.120	0.119	0.119	0.121	0.120	0.121	0.122	0.122	0.133	0.149
24	0.119	0.118	0.119	0.120	0.121	0.117	0.118	0.118	0.118	0.119	0.118	0.119	0.120	0.120	0.131	0.148

### 3.3.3.4 Geforderte sektorielle Betriebsbeschränkungen (WSM) gemäß [25]

Die folgenden sektoriellen Betriebsbeschränkungen sind durch die Vestas Wind Systems A/S vorgegeben [25], um die Standorteignung der neu geplanten WEA nachweisen zu können.

Tabelle 3.10: Geforderte Betriebsbeschränkungen

WEA	Start WSM [°]	Ende WSM [°]	Startwind-geschwindigkeit [m/s]	Endwind-geschwindigkeit [m/s]	Betriebsmodus
W1	210	240	7.5	12.5	Abschaltung
W4	150	215	7.5	12.5	Abschaltung
W6	270	335	7.5	12.5	Abschaltung
W6	336	24	7.5	12.5	Abschaltung
W8	190	250	7.5	12.5	Abschaltung
W11	205	250	7.5	12.5	Abschaltung
W10	240	285	7.5	12.5	Abschaltung

### 3.3.3.5 Geforderte sektorielle Betriebsbeschränkungen (WSM)

Um die Überschreitungen hinsichtlich der effektiven Turbulenzintensität an betroffenen Bestands-WEA zu verhindern bzw. nicht weiter zu erhöhen, sind die folgenden sektoriellen Betriebsbeschränkungen notwendig.

Tabelle 3.11: Geforderte Betriebsbeschränkung zum Schutz von W14

WEA	Start WSM [°]	Ende WSM [°]	Startwind-geschwindigkeit [m/s]	Endwind-geschwindigkeit [m/s]	Betriebsmodus
W6	336	24	$V_{in}$	5.5	Abschaltung
Alternativ: W14	336	24	$V_{in}$	5.5	Abschaltung

### 3.4 Vergleich der Schräganströmung $\delta$

Gemäß der DIN EN IEC 61400-1:2019 [6] ist beim erweiterten Vergleich der Windbedingungen (siehe Abschnitt 1.2.2) der Nachweis zu führen, dass der über alle Richtungen windenergiegewichtete Standortmittelwert der Schräganströmung  $\delta_{NH}$  den vorgegebenen Wert von  $-8^\circ \leq \delta_{NH} \leq 8^\circ$ , bzw. den in der Typenprüfung angegebenen Wert gegenüber der horizontalen Ebene, nicht überschreitet bzw. unterschreitet. Die Ermittlung der Schräganströmung  $\delta_{NH}$  erfolgt gemäß [6] und entspricht der Neigung der angenäherten Ebene mit einem Radius  $5 z_{hub}$  vor der WEA und  $2 z_{hub}$  hinter der WEA gegenüber der horizontalen Mittelgeraden des betrachteten Sektors.

Die folgende Tabelle 3.12 stellt die Ergebnisse der ermittelten Schräganströmung  $\delta_{NH}$  dar.

Handelt es sich bei einem Standort einer neu geplanten WEA um einen nach DIN EN IEC 61400-1:2019 [6] topografisch nicht komplexen Standort, sind die Nachweise nach Abschnitt 1.2.2 nicht zu führen. In diesem Fall erfolgt die Ausweisung der Werte in Tabelle 3.12 rein informativ und es erfolgt kein Vergleich mit den Auslegungswindbedingungen.

Tabelle 3.12 Standortmittelwert der Schräganströmung  $\delta_{NH}$  der zu untersuchenden WEA

Interne W-Nr.	$\delta_{NH}$ [°]
W1	-0.2
W2	0.2
W3	-0.4
W4	-0.3
W5	-0.4
W6	-0.2
W7	0.0
W8	-0.2
W9	0.1
W10	0.4
W11	-0.3

### 3.5 Vergleich des Höhenexponenten $\alpha$

Gemäß der DIN EN IEC 61400-1:2019 [6] ist beim erweiterten Vergleich der Windbedingungen (siehe Abschnitt 1.2.2) der Nachweis zu führen, dass der über alle Richtungen und Windgeschwindigkeiten energiegewichtete Standortmittelwert des Höhenexponenten  $\alpha_{NH}$  einen vorgegebenen Wert von  $0.05 \leq \alpha_{NH} \leq 0.25$ , bzw. den in der Typenprüfung angegebenen Wert nicht überschreitet bzw. unterschreitet. Die Ermittlung des Höhenexponenten erfolgt entsprechend der DIN EN IEC 61400-1:2019 [6] auf Basis der ermittelten Rauigkeiten am Standort. Einflüsse der Stabilität der Atmosphäre werden dabei nicht berücksichtigt. Die Ermittlung berücksichtigt keinen Einfluss der Topografie, der bei den hier untersuchten Nabenhöhen vernachlässigt werden kann, solange sich keine schroffen Geländekanten oder Steilhänge in unmittelbarer Umgebung der betrachteten WEA befinden. Der über alle Windrichtungen energiegewichtete Standortmittelwert des Höhenexponenten  $\alpha_{NH}$  ist für alle zu betrachtenden Anlagen in einem Bereich von der unteren Blattspitze bis zur oberen Blattspitze zu ermitteln und mit dem Auslegungswert zu vergleichen.

Die folgende Tabelle 3.13 stellt die Ergebnisse der Standortmittelwerte des Höhenexponenten  $\alpha_{NH}$  dar.

Handelt es sich bei einem Standort einer neu geplanten WEA um einen nach DIN EN IEC 61400-1:2019 [6] topografisch nicht komplexen Standort, sind die Nachweise nach Abschnitt 1.2.2 nicht zu führen. In diesem Fall erfolgt die Ausweisung der Werte in Tabelle 3.13 rein informativ und es erfolgt kein Vergleich mit den Auslegungswindbedingungen.

*Tabelle 3.13 Standortmittelwert des Höhenexponenten  $\alpha_{NH}$  der zu untersuchenden WEA*

Interne W-Nr.	$\alpha_{NH}$ [-]
W1	0.17
W2	0.17
W3	0.17
W4	0.17
W5	0.17
W6	0.17
W7	0.17
W8	0.17
W9	0.17
W10	0.17
W11	0.17

### 3.6 Vergleich der Luftdichte $\rho$

Gemäß der DIN EN IEC 61400-1:2019 [6] ist beim erweiterten Vergleich der Windbedingungen (siehe Abschnitt 1.2.2) der Nachweis zu führen, dass der Standortmittelwert der Luftdichte  $\rho_{NH}$  bei allen Windgeschwindigkeiten größer oder gleich der Nennwindgeschwindigkeit  $v_r$ , den Wert  $\rho = 1.225 \text{ kg/m}^3$ , bzw. den in der Typenprüfung aufgeführten Wert, nicht überschreitet. Alternativ kann eine Luftdichte über dem Wert von  $1.225 \text{ kg/m}^3$  oder dem in der Typenprüfung angegebenen Wert durch Einhaltung der folgenden Ungleichung nachgewiesen werden:

$$\rho_{TP} * v_{ave,TP}^2 \geq \rho_{NH} * v_{ave,NH}^2$$

Die Berechnung der mittleren Luftdichte  $\rho_{NH}$  auf Nabenhöhe der jeweiligen WEA erfolgt entsprechend der Norm DIN ISO 2553 [17]. Als Datengrundlage dient die mittlere Temperatur in 2 m über Grund, die in einem 1 km Raster über den Zeitraum von 1981 – 2010 vorliegt [18] und entsprechend [17] auf die zu untersuchende Nabenhöhe umgerechnet wird.

Die folgende Tabelle 3.14 stellt die Ergebnisse des Vergleichs des Standortmittelwertes der Luftdichte  $\rho_{NH}$  mit dem Auslegungswert für jede zu untersuchende WEA dar.

Handelt es sich bei einem Standort einer neu geplanten WEA um einen nach DIN EN IEC 61400-1:2019 [6] topografisch nicht komplexen Standort, sind die Nachweise nach Abschnitt 1.2.2 nicht zu führen. In diesem Fall erfolgt die Ausweisung der Werte in Tabelle 3.14 rein informativ und es erfolgt kein Vergleich mit den Auslegungswindbedingungen.

Tabelle 3.14: Vergleich der Luftdichte  $\rho_{NH}$  der zu untersuchenden WEA

Interne W-Nr.	$\rho_{NH}$ [kg/m <sup>3</sup> ]
W1	1.226
W2	1.226
W3	1.226
W4	1.226
W5	1.226
W6	1.226
W7	1.226
W8	1.226
W9	1.226
W10	1.226
W11	1.226

### 3.7 Vergleich der extremen Turbulenzintensität $I_{\text{ext}}$

Gemäß der DIN EN IEC 61400-1:2019 [6] ist der Nachweis zu führen, dass die Auslegungswerte des ETM auch unter Berücksichtigung der Nachlaufsituation mit der höchsten Nachlaufturbulenz im Zentrum des Nachlaufs, nicht überschritten werden. Entsprechend Abschnitt 1.3 wird der Vergleich im vorliegenden Gutachten nicht geführt, sondern nur die ermittelten Werte  $I_{\text{ext, NH}}$  ausgewiesen. Die Ermittlung der Extremturbulenzintensität erfolgt durch die Betrachtung aller auftretenden Nachlaufsituationen und stellt das Ergebnis mit dem höchsten Wert, im Zentrum aller betrachteten Nachlaufsituationen dar. Wenn keine Nachlaufsituationen zu berücksichtigen sind, wird der Wert der höchsten repräsentativen Turbulenzintensität ausgewiesen. Entsprechend [6] berücksichtigen alle ausgewiesenen Werte den jeweiligen anzusetzenden Turbulenzstrukturparameter  $C_{\text{CT}}$ .

Die folgende Tabelle 3.15 stellt die ermittelten extremen Turbulenzintensitäten  $I_{\text{ext, NH}}$  in Abhängigkeit der Windgeschwindigkeit dar.

Tabelle 3.15: Ermittelte extreme Turbulenzintensitäten  $I_{\text{ext, NH}}$

$v_{\text{hub}}$	W1	W2	W3	W4	W5	W6	W7	W8	W9	W10	W11
3	0.411	0.394	0.425	0.412	0.426	0.428	0.398	0.418	0.416	0.420	0.427
4	0.378	0.356	0.390	0.379	0.395	0.398	0.361	0.385	0.384	0.388	0.394
5	0.374	0.347	0.386	0.374	0.394	0.397	0.353	0.381	0.382	0.385	0.391
6	0.352	0.325	0.363	0.352	0.372	0.374	0.331	0.359	0.360	0.363	0.368
7	0.328	0.302	0.338	0.328	0.347	0.349	0.308	0.335	0.335	0.339	0.343
8	0.308	0.284	0.318	0.308	0.326	0.328	0.290	0.315	0.315	0.318	0.323
9	0.292	0.270	0.302	0.293	0.310	0.312	0.275	0.299	0.299	0.302	0.306
10	0.263	0.244	0.272	0.264	0.278	0.280	0.249	0.269	0.269	0.272	0.276
11	0.232	0.217	0.239	0.232	0.243	0.245	0.220	0.236	0.236	0.238	0.242
12	0.205	0.194	0.212	0.205	0.213	0.215	0.197	0.209	0.208	0.210	0.213
13	0.187	0.179	0.194	0.187	0.193	0.195	0.181	0.190	0.189	0.191	0.194
14	0.174	0.168	0.180	0.174	0.179	0.180	0.169	0.177	0.176	0.178	0.180
15	0.164	0.159	0.170	0.164	0.168	0.169	0.160	0.167	0.165	0.167	0.170
16	0.156	0.152	0.162	0.156	0.159	0.160	0.153	0.158	0.157	0.158	0.161
17	0.149	0.147	0.155	0.149	0.152	0.153	0.147	0.152	0.150	0.152	0.154
18	0.143	0.141	0.148	0.143	0.145	0.146	0.141	0.145	0.143	0.145	0.147
19	0.137	0.136	0.142	0.137	0.139	0.140	0.136	0.139	0.137	0.139	0.141
20	0.133	0.132	0.138	0.133	0.134	0.135	0.132	0.135	0.133	0.134	0.137
21	0.128	0.129	0.134	0.129	0.129	0.130	0.128	0.130	0.128	0.130	0.132
22	0.125	0.126	0.130	0.125	0.125	0.126	0.125	0.127	0.125	0.126	0.129
23	0.122	0.123	0.127	0.123	0.122	0.123	0.123	0.124	0.122	0.124	0.126
24	0.120	0.121	0.125	0.120	0.120	0.121	0.121	0.122	0.120	0.121	0.123

## 4 Zusammenfassung

### 4.1 Neu geplante WEA

Es wurden die Standortbedingungen nach Abschnitt 1.2.1 für die neu geplanten WEA ermittelt und mit den Auslegungswerten verglichen. Dieser Vergleich hat gezeigt, dass

- i. W1 – W11 eine Überschreitung der Wahrscheinlichkeitsdichtefunktion der standortspezifischen Windgeschwindigkeiten  $pdf_{NH}$  im Vergleich zur Wahrscheinlichkeitsdichtefunktion der Typenprüfung  $pdf_{TP}$  aufweisen (siehe Abschnitt 3.2.1),
- ii. W1 – W11 an einem Standort errichtet werden sollen, der den Auslegungswert der 50-Jahreswindgeschwindigkeit  $v_{m50, TP}$  nicht überschreitet (siehe Abschnitt 3.2.2) und
- iii. W1 – W11 Überschreitungen der effektiven Turbulenzintensität  $I_{eff}$  gegenüber den Auslegungswerten aufweisen (siehe Abschnitt 3.3.3.3).

Für die WEA W1 – W11 hat eine seitens des Herstellers Vestas durchgeführte Überprüfung der standortspezifischen Lasten der WEA, in der geplanten Konfiguration nach Tabelle 2.1, anhand der dem Hersteller zur Verfügung gestellten Ergebnisse aus Kapitel 3 ergeben, dass die Auslegungslasten der WEA unter Berücksichtigung der in Abschnitt 3.3.3.4 ausgewiesenen sektoriellen Betriebsbeschränkungen nicht überschritten werden [25]. Die Ergebnisse in [25] wurden von der I17-Wind GmbH & Co. KG hinsichtlich der berücksichtigten Eingangsdaten geprüft und werden als richtig vorausgesetzt.

Die Standorteignung gemäß DIBt 2012 [1.1] ist für die WEA W1 – W11 unter Berücksichtigung der standortspezifischen Lastrechnung [25] und der in Abschnitt 3.3.3.4 ausgewiesenen sektoriellen Betriebsbeschränkungen durch das vorliegende Gutachten nachgewiesen.

**Anmerkung:** Es ist zu beachten, dass die Blattlager an W2, W6, W7, W9 und W11 gemäß [25] einem erhöhten Wartungsaufwand unterliegen. Hierzu wird seitens des Anlagenherstellers Vestas eine gesonderte Servicestrategie durchgeführt, um eine Lebensdauer von 25 Jahren aufrechtzuerhalten.

Die folgende Tabelle stellt die Ergebnisse zum Nachweis der Standorteignung der geplanten WEA zusammenfassend dar.

Tabelle 4.1: Zusammenfassung der Ergebnisse geplante WEA

Interne W-Nr.	Hersteller	Anlagentyp	NH [m]	FEH [m]	Standorteignung gemäß DIBt 2012 nachgewiesen
W1	Vestas	V162-6.2 MW	169.0	0.0	Ja, siehe Abschnitt 3.3.3.4
W2	Vestas	V162-6.2 MW	169.0	0.0	Ja, siehe Abschnitt 3.3.3.4
W3	Vestas	V162-6.2 MW	169.0	0.0	Ja, siehe Abschnitt 3.3.3.4
W4	Vestas	V162-6.2 MW	169.0	0.0	Ja, siehe Abschnitt 3.3.3.4
W5	Vestas	V162-6.2 MW	169.0	0.0	Ja, siehe Abschnitt 3.3.3.4
W6	Vestas	V162-6.2 MW	169.0	0.0	Ja, siehe Abschnitt 3.3.3.4
W7	Vestas	V162-6.2 MW	169.0	0.0	Ja, siehe Abschnitt 3.3.3.4
W8	Vestas	V162-6.2 MW	169.0	0.0	Ja, siehe Abschnitt 3.3.3.4
W9	Vestas	V162-6.2 MW	169.0	0.0	Ja, siehe Abschnitt 3.3.3.4
W10	Vestas	V162-6.2 MW	169.0	0.0	Ja, siehe Abschnitt 3.3.3.4
W11	Vestas	V162-6.2 MW	169.0	0.0	Ja, siehe Abschnitt 3.3.3.4

## 4.2 Bestehende WEA

Für die Bestands-WEA W12, W15 und W20 konnte die nach DIBt 2012 [1.1] nachzuweisende Standorteignung hinsichtlich der effektiven Turbulenzintensität durch den Vergleich mit den Auslegungswerten nachgewiesen werden.

Die Bestands-WEA W16 – W19 und W21 – W27 und W29 weisen Überschreitungen der effektiven Turbulenzintensität nach der Richtlinie DIBt 2012 [1.1] auf. Durch einen Vergleich der Situation vor, mit der Situation nach dem geplanten Zubau konnte gezeigt werden, dass der geplante Zubau keinen signifikanten Einfluss auf die Standorteignung hinsichtlich der effektiven Turbulenzintensitäten der W16 – W19 und W21 – W27 und W29 hat. Bei diesem Vergleich wurde die Erhöhung der effektiven Turbulenzintensität durch den Zubau und ggf. deren Einfluss auf die PEL nach [20] untersucht. Somit ist die Standorteignung hinsichtlich der effektiven Turbulenzintensität für diese WEA unter Maßgabe einer in deren Genehmigungsverfahren nachgewiesenen Standorteignung weiterhin nachgewiesen.

Die Bestands-WEA W14 weist sowohl vor Zubau als auch nach Zubau Überschreitungen hinsichtlich der effektiven Turbulenzintensität auf, die durch den Zubau erhöht werden. Um die Standorteignung der WEA W14 auch nach Zubau nachweisen zu können bzw. die Überschreitungen der effektiven Turbulenzintensität nicht signifikant zu erhöhen, sind die in Abschnitt 3.3.3.5 aufgeführten sektoriellen Betriebsbeschränkungen notwendig. Bei der Festlegung der Betriebseinschränkungen wurde die Erhöhung der effektiven Turbulenzintensität durch den Zubau und ggf. deren Einfluss auf die PEL nach [20] untersucht. Somit ist die Standorteignung hinsichtlich der effektiven Turbulenzintensität für diese WEA unter Maßgabe einer in deren Genehmigungsverfahren nachgewiesenen Standorteignung weiterhin nachgewiesen.

Für die Bestands-WEA W13 hat eine seitens des Herstellers Vestas durchgeführte Überprüfung der standortspezifischen Lasten der WEA, in der geplanten Konfiguration nach Tabelle 2.1, anhand der dem Hersteller zur Verfügung gestellten Ergebnisse aus Kapitel 3 ergeben, dass die Auslegungslasten der WEA nicht überschritten werden [25]. Die Ergebnisse in [25] wurden von der I17-Wind GmbH & Co. KG hinsichtlich der berücksichtigten Eingangsdaten geprüft und werden als richtig vorausgesetzt.

Die Standorteignung gemäß DIBt 2012 [1.1] ist für die Bestands-WEA W13 unter Berücksichtigung der standortspezifischen Lastrechnung [25] durch das vorliegende Gutachten nachgewiesen.

Die folgende Tabelle stellt die Ergebnisse zum Nachweis der Standorteignung der Bestands-WEA zusammenfassend dar.

*Tabelle 4.2: Zusammenfassung der Ergebnisse Bestands-WEA*

Interne W-Nr.	Hersteller	Anlagentyp	NH [m]	FEH [m]	Standorteignung gemäß DIBt 2012 nachgewiesen
W12	Vestas	V162-5.6 MW	169.0	0.0	Ja
W13	Vestas	V150-5.6 MW	169.0	0.0	Ja
W14	Vestas	V162-5.6 MW	169.0	0.0	Ja, siehe Abschnitt 3.3.3.5
W15	Vestas	V162-5.6 MW	169.0	0.0	Ja
W16	Vestas	V162-5.6 MW	169.0	0.0	Ja
W17	Vestas	V162-5.6 MW	169.0	0.0	Ja
W18	Vestas	V162-5.6 MW	169.0	0.0	Ja
W19	Vestas	V162-5.6 MW	169.0	0.0	Ja
W20	Vestas	V162-5.6 MW	169.0	0.0	Ja
W21	Vestas	V162-5.6 MW	169.0	0.0	Ja
W22	Vestas	V162-6.0 MW	169.0	0.0	Ja
W23	Vestas	V162-6.0 MW	169.0	0.0	Ja

Interne W-Nr.	Hersteller	Anlagentyp	NH [m]	FEH [m]	Standorteignung gemäß DIBt 2012 nachgewiesen
W24	Vestas	V162-6.0 MW	169.0	0.0	Ja
W25	Vestas	V162-6.0 MW	169.0	0.0	Ja
W26	Vestas	V162-6.0 MW	169.0	0.0	Ja
W27	Vestas	V162-6.0 MW	169.0	0.0	Ja
W29	eno energy	eno 160-6.0 MW	165.0	0.0	Ja

---

## 5 Standortbesichtigung

Entsprechend der Forderung in der Richtlinie DIBt Fassung Oktober 2012 [1.1] nach einer Standortbesichtigung wurde diese am 03.12.2022 durch einen Mitarbeiter der I17-Wind GmbH & Co. KG durchgeführt [23].

Die Standortbesichtigung dient zur Ermittlung, bzw. zum Abgleich von Geländebeschaffenheit mit vorhandenen Satellitendaten zur Rauigkeit [13] und ggf. zu den Höhenlinien [14]. Mögliche turbulenzrelevante Einzelstrukturen wurden untersucht und dokumentiert. Die Standortdokumentation bestätigt die zu Grunde gelegten Rauigkeiten und die Ergebnisse zur Komplexität.

## Abkürzungs- und Symbolverzeichnis

Abkürzung	Bedeutung
BImSchG	Bundes-Immissionsschutzgesetz
DIBt	Deutsches Institut für Bautechnik
DIN	Deutsches Institut für Normung
EN	Europäische Norm
ETM	Extremes Turbulenzmodell
ETRS89	Europäisches Terrestrisches Referenzsystem von 1989
GK	Gauß-Krüger, Geländekategorie
H	Komplexitätskategorie Stark
IEC	International Electrotechnical Commission
L	Komplexitätskategorie Gering
M	Komplexitätskategorie Mittel
NA	Nationaler Anhang
NTM	Normales Turbulenzmodell
PEL	Pseudo-Äquivalente-Last
pdf	Wahrscheinlichkeitsdichtefunktion
TK	Turbulenzkategorie, Auslegungsturbulenz
TP	Typenprüfung
UTM	Universal Transverse Mercator Projection
WEA	Windenergieanlage(n)
WGS84	World Geodetic System (letzte Revision in 2004)
WSM	Wind Sector Management, Sektorielle Betriebsbeschränkung
WV	Windverteilung
WZ	Windzone

Symbol	Bedeutung	Einheit
$A$	Skalenparameter der Weibullverteilung	[m/s]
$C_{CT}$	Turbulenzstrukturparameter	[-]
$c_t$	Schubbeiwert	[-]
$D$	Rotordurchmesser	[m]
$FEH$	Fundamenterhöhung	[m]
$h_{WV}$	Höhe der Windbedingungen / Windverteilung über Grund	[m]
$I_{amb}$	Umgebungsturbulenzintensität	[-]
$i_c$	Komplexitätsindex	[-]
$I_{char}$	Charakteristische Turbulenzintensität	[-]
$I_{ext}$	Extreme Turbulenzintensität	[-]
$I_{eff}$	Effektive Turbulenzintensität auf Nabenhöhe	[-]
$I_{rep}$	Repräsentative Turbulenzintensität	[-]
$k$	Formparameter der Weibullverteilung	[-]
$\lambda$	Schnelllaufzahl	[-]
$m$	Wöhlerlinienkoeffizient	[-]
$NH$	Nabenhöhe	[m]
$p$	Sektorielle Häufigkeit	[%]
$P_N$	Nennleistung	[kW]
$s$	Dimensionsloser Abstand zwischen WEA, bezogen auf den jeweils größeren Rotordurchmesser	[-]

Symbol	Bedeutung	Einheit
$\tau$	Lebensdauer	[a]
$TSI$	Index der Geländeneigung	[°]
$TVI$	Index der Geländeabweichung	[%]
$v_{ave}$	Jahresmittel der Windgeschwindigkeit auf Nabenhöhe	[m/s]
$v_{hub}$	Windgeschwindigkeit auf Nabenhöhe	[m/s]
$v_{in}$	Einschaltwindgeschwindigkeit der WEA	[m/s]
$v_{m50}$	10-Minuten Mittelwert der 50-Jahres-Windgeschwindigkeit auf Nabenhöhe	[m/s]
$v_{out}$	Abschaltwindgeschwindigkeit der WEA	[m/s]
$v_r$	Nennwindgeschwindigkeit der WEA	[m/s]
$v_{ref}$	Auslegungswert des 10-Minuten Mittelwerts der 50-Jahres-Windgeschwindigkeit	[m/s]
$X$	Rechtswert	[m]
$Y$	Hochwert	[m]
$z_0$	Rauigkeitslänge	[m]
$z_{hub}$	Nabenhöhe der betrachteten WEA	[m]
$\alpha$	Höhenexponent	[-]
$\delta$	Schräganströmung	[°]
$\rho$	Luftdichte	[kg/m <sup>3</sup> ]
$\sigma$	Standardabweichung der Windgeschwindigkeit	[m/s]
$\sigma_\sigma$	Standardabweichung der Turbulenzintensität	[-]

## Literaturverzeichnis

- [1.1] *Deutsches Institut für Bautechnik – DIBt -, Berlin; Referat I 8 Bautechnisches Prüfamt Grundlagen der Standsicherheit; Richtlinie für Windenergieanlagen – Einwirkungen und Standsicherheitsnachweise für Turm und Gründung; Fassung Oktober 2012 und korrigierte Fassung März 2015;*
- [1.2] *DKE Deutsche Kommission Elektrotechnik Elektronik Informationstechnik; DKE/AK 383.0.01/Untergruppe DIBt2012 an die PG „Windenergieanlagen“ des DIBt; Anwendung der DIBt 2012 zur Prüfung der Standorteignung, 30.01.2015;*
- [2] *Deutsches Institut für Bautechnik – DIBt -, Berlin; Richtlinie für Windenergieanlagen – Einwirkungen und Standsicherheitsnachweise für Turm und Gründung; Fassung März 2004; Schriften des Deutschen Instituts für Bautechnik Reihe B, Heft 8;*
- [3] *Deutsches Institut für Bautechnik – DIBt -, Berlin; Richtlinie für Windkraftanlagen – Einwirkungen und Standsicherheitsnachweise für Turm und Gründung; Fassung Juni 1993; 2. Überarbeitete Auflage 1995; Schriften des Deutschen Instituts für Bautechnik Reihe B, Heft 8;*
- [4] *International Electrotechnical Commission (IEC); IEC 61400-1 Edition 2.0 International Standard Wind turbine generator systems – Part 1: Safety requirements;*
- [5] *International Electrotechnical Commission (IEC); IEC 61400-1 Edition 3.0 International Standard Wind turbines – Part 1: Design requirement; Mit Implementierung von 61400-1/A1, Amendment 1, 2009;*
- [6] *Deutsches Institut für Normung e.V.; DIN EN IEC 61400-1:2019; Windenergieanlagen – Teil 1: Auslegungsanforderungen (IEC61400-1:2019; Deutsche Fassung EN IEC 61400-1:2019; Dezember 2019;*
- [7] *Deutsches Institut für Normung e.V.; DIN EN 61400-1:2011-08 Windenergieanlagen – Teil 1: Auslegungsanforderungen (IEC 61400-1:2005 + A1:2012); Deutsche Fassung EN 61400-1:2005 + A1:2010;*
- [8] *Deutsches Institut für Normung e.V.; DIN EN 61400-1:2004 Windenergieanlagen – Teil 1: Sicherheitsanforderungen (IEC 61400-1:1999); Deutsche Fassung EN 61400-1:2004;*
- [9] *Deutsches Institut für Normung e.V.; DIN EN 1991-1-4/NA:2010-12 mit DIN EN 1991-1-4:2010-12; Nationaler Anhang – Eurocode 1: Einwirkungen auf Tragwerke – Teil 1-4: Allgemeine Einwirkungen: Windlasten;*
- [10] *ECN Solar & Wind Energy, J.W.M. Dekker und J.T.G. Pierik [Hrsg.]: European Wind Turbine Standards II, Petten, (NLD), 1998;*
- [11] *Deutsches Institut für Bautechnik; Windzonen nach Verwaltungsgrenzen; Windzonen\_nach\_Verwaltungsgrenzen.xlsx; Stand 02.06.2022;*
- [12] *European Wind Atlas, Risø National Laboratory, Roskilde (DK), 1989 Troen, Ib; Petersen, Erik L.;*
- [13] *European Environment Agency; Corine Land Cover (CLC) 2018, Version 20 (final version); Veröffentlicht im Juni 2019;*
- [14] *U.S. Geological Survey Earth Resources Observation & Science Center (EROS); SRTM 1 Arc-Sec Global; Download am 02.12.2016;*
- [15] *Risø DTU National Laboratory for Sustainable Energy, Windfarm Assessment Tool Version 3.3.0.128;*

- [16] Frandsen, Sten T. (2007): *Turbulence and turbulence-generated structural loading in wind turbine clusters*. Roskilde (DK);
- [17] Deutsches Institut für Normung e.V.; DIN ISO 2533; *Normatmosphäre*; Dezember 1979;
- [18] Deutscher Wetterdienst; DWD Climate Data Center (CDC), *Vieljährige mittlere Raster der Lufttemperatur (2m) für Deutschland 1981-2010, Version v1.0.*;
- [19.1] OpenStreetMap und Mitwirkende; SRTM | Kartendarstellung: OpenTopoMap (CC-BY-SA); Siehe auch: <https://creativecommons.org/>;
- [19.2] Microsoft Corporation; © 2019 Digital Globe © CNES (2019) Distribution Airbus DS; Siehe auch: <https://www.microsoft.com/en-us/maps/product/>;
- [20] Rodenhausen M., Moser W., Hülsmann C., Bergemann C., Könker M., McKenna R.; *Prüfung der Standorteignung für Windenergieanlagen: Ein pragmatischer Ansatz*; Ernst & Sohn Verlag für Architektur und technische Wissenschaften GmbH & Co. KG, Berlin. Bautechnik 93 (2016) Heft 10;
- [21] SAB Projektentwicklung GmbH & Co. KG; E-Mail mit dem Betreff: „AW: Anfrage für ein Angebot für ein S<sup>3</sup>-Paket am Standort Krinitz Steesow Sektion C“ am 30.11.2022; 221123\_Eingangsdatenkatalog\_I17-Wind\_S3.xlsx; E-Mail mit dem Betreff: „Krinitz-Steosow eno-Anlagen“ am 19.12.2022; Telefonnotiz vom 19.12.2022; Übermittlung der korrigierten Vorbelastung am 20.12.2022;
- [22.1] SAB Projektentwicklung GmbH & Co. KG; E-Mail mit dem Betreff: „AW: Anfrage für ein Angebot für ein S<sup>3</sup>-Paket am Standort Krinitz Steesow Sektion C“ am 30.11.2022; 221123\_Eingangsdatenkatalog\_I17-Wind\_S3.xlsx;
- [22.2] anemos Gesellschaft für Umweltmeteorologie; *Aktualisierung der Extremwindabschätzung auf Basis des anemos Windatlas für Deutschland am Standort Krinitz-Steosow*; Bericht Nr. 20-149-7022908-Rev.00-EX-PP; 05.12.2022;
- [23] I17-Wind GmbH & Co. KG; *Standortdokumentation für ein Gutachten zur Standorteignung nach DIBt 2012 für den Windpark Krinitz Steesow Deutschland*; I17-SV-2022-247; 07.12.2022;
- [24.1] Vestas Wind Systems A/S; *Performance Specification EnVentus™ V162-6.2 MW 50/60 Hz*; Document no.: 0107-3707 V00; 30.06.2021; E-Mail mit dem Betreff: "RE: V162-6.2MW" vom 19.10.2021;
- [24.2] Vestas Wind Systems A/S; *Gutachterinformation Auslegungswerte Turbulenz EnVentus™ V162-6.2 MW 50/60 Hz 25 Jahre*; Dokumentennr.: 0105-6831 V00; 29.04.2021;
- [25] Vestas Wind Systems A/S; *Vestas Site Specific Load Calculation Krinitz Steesow III– Germany*; WS-Loads-C4C: 208822; T13 0140-6555 Ver 00; 03.03.2023;